

スファレロン過程とレプトン数生成

船久保 公一

佐賀大学理工学部

佐賀大学高等教育開発センター

埼玉大学

素粒子論研究室セミナー

2009年6月19日

内容

1. Introduction — *overview of baryogenesis* —
2. Anomalous Baryon Number Nonconservation
3. Sphaleron Process
4. Requirements for EW Baryogenesis
5. Leptogenesis
6. Discussions

1. Introduction

宇宙のバリオン数

Baryon Asymmetry of the Universe

- 地球、月、太陽、太陽系の安定性
- 天の川銀河系内からの宇宙線 $\frac{n_{\bar{p}}}{n_p} \sim 10^{-4}$ — 2次粒子
- 安定な銀河団 $\sim 10^{12} M_\odot$

バリオン対称宇宙で、 $10^{12} M_\odot$ 程度の物質または反物質だけの質量を集めるのは不可能

[Steigman, Ann. Rev. Astron. Astrophys. 14 ('76)]

宇宙論的観測 — CMB揺らぎのパワースペクトル & ビッグバン元素合成

$$4.7 \times 10^{-10} \leq \eta \equiv \frac{n_B}{n_\gamma} \leq 6.5 \times 10^{-10} \quad (95\% \text{ CL})$$

$T < 1 \text{ MeV}$ では宇宙膨張で不变

現在の宇宙を説明するには、

$$\frac{n_B}{s} = (0.67 - 0.92) \times 10^{-10}$$

$$s \simeq 7.04n_\gamma \text{ at } T < 1\text{MeV}$$

だけの、バリオン数が必要

- 宇宙の初期条件 → 問題の先送り、解決ではない!
- 宇宙は $B = 0$ から始まって、元素合成までに生成された

素粒子理論に基づいて定量的に説明する

標準理論では説明不可能 [後述]



標準理論を超える理論への制限

バリオン数生成のための条件 =

Saharovの3条件

(1) バリオン数非保存

(2) C と CP 対称性の破れ

(3) 平衡からのズレ

(1)は自明。

(3)が無いと、 $\Delta B \neq 0$ の過程と逆過程が同じ頻度で起こる。

(2)が成り立たないとすると...

宇宙のバリオン数の時間発展を考える。

▷ 宇宙の状態を density operator $\rho(t)$ で表す。

$$\rho(t) = \sum_n p_n |\psi_n(t)\rangle\langle\psi_n(t)| \rightarrow \text{期待値: } \langle \mathcal{O} \rangle(t) = \text{Tr} [\rho(t) \mathcal{O}]$$

▷ 初期状態 ρ_0 はバリオン対称 $\langle n_B \rangle_0 \equiv \text{Tr} [\rho_0 n_B] = 0$

- ▷ density operator $\rho(t)$ の時間発展はLiouville方程式

$$i\hbar \frac{\partial \rho(t)}{\partial t} + [\rho(t), H] = 0$$

で決まる。形式解は H と初期条件 ρ_0 で書かれている。

- ▷ H が C 対称または CP 対称 $\implies [\rho, C] = 0 \quad or \quad [\rho, CP] = 0$

- ▷ 一方、 $CBC^{-1} = -B, CPB(CP)^{-1} = -B$ (B はvectorlikeで、 C の下でodd)

B -対称な宇宙(ρ_0)からスタートして、 H が C または CP 対称ならば、 その後の $\langle n_B \rangle$ は

$$\left\{ \begin{array}{l} \langle n_B \rangle = \text{Tr}[\rho n_B] = \text{Tr}[\rho C n_B C^{-1}] = -\text{Tr}[\rho n_B] = 0 \\ \text{or} \\ \langle n_B \rangle = \text{Tr}[\rho CP n_B (CP)^{-1}] = -\text{Tr}[\rho n_B] = 0 \end{array} \right.$$

∴ $\langle n_B \rangle \neq 0$ となるには、 C と CP の両方が破れなければならない。

Baryogenesisの可能性

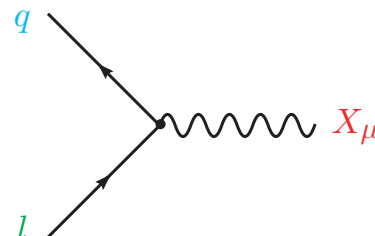
(1) バリオン数非保存

バリオン数を破る相互作用 — 標準理論の*tree-level*には無い global $U(1)_B$ -sym.

▷ 拡張した理論におけるバリオン数保存の破れ

- GUTs — 標準理論のゲージ群 $SU(3)_c \times SU(2)_L \times U(1)_Y$ の統一

→ クオーケとレプトンが同じ多重項



- 超対称理論 — バリオン数を持ったスカラー場がある時期に期待値を持つ

||

クオーケのsuperpartner: スカラー・クオーケ (squark) \tilde{q}

Affleck-Dine mechanism

[Affleck & Dine, Nucl. Phys. B249 ('85); Dine, et al., Nucl. Phys. B458 ('96)]

- 他の可能性?

▷ 標準理論にある**量子効果による**バリオン数保存の破れ

[次節のテーマ]

||

($B + L$)カレントのアノマリ (chiral anomaly)

バリオン数非保存に対する制限 = 陽子崩壊 $\tau_p > 10^{31}$ y

→ 例えば、最も簡単な $SU(5)$ GUT は除外される

標準理論の($B + L$)カレントのアノマリによる $\Delta B \neq 0$ 過程は？

→ $T = 0$ では確率が殆どゼロ

[t Hooft, Phys. Rev. D14 ('76)]

しかし、高温では頻繁に起こるという好ましい性質

(2) CとCP対称性の破れ

- ★ C対称性 ← カイラル・ゲージ相互作用 (\in 電弱理論、それを含むGUTs)

$$\mathcal{L} \sim g (\bar{\psi}_L \gamma^\mu A_\mu^a T_L^a \psi_L + \bar{\psi}_R \gamma^\mu A_\mu^a T_R^a \psi_R) \text{において } T_L^a \neq T_R^a$$

例) 標準理論のquark, leptonに対して、 $T_L^a = \frac{\tau^a}{2}$ and $T_R^a = 0$ and $Y_L \neq Y_R$

★ CP対称性

- 標準理論: 小林-益川行列に含まれる 複素位相 $y_{AB} \bar{q}_{AL} \gamma^\mu W_\mu^- q_{BL} + \text{h.c. } (A \neq B)$
strong CP phase ($\sim \theta_{\text{QCD}} F_{\mu\nu} \tilde{F}^{\mu\nu}$) $\theta_{\text{QCD}} \simeq 0$ by nEDM実験

- 標準理論の拡張 — 繰り込み可能なCPを破る演算子は限られる

例) 超対称標準理論

superpotentialの複素パラメータ (μ など)

soft SUSY-breaking parameters (質量次元3以下)

$\mu B \Phi_d \Phi_u, A \phi^3, M \chi \chi$

[Girardello & Grisaru, Nucl. Phys. B194 ('82)]

独立はCP位相は、これらの組み合わせ

(3) 非平衡状態

- 宇宙の膨張 $\Gamma_{\Delta B \neq 0} \simeq H(T)$
- インフレーション直後の Reheating または Preheating
 - 粒子生成とエントロピー生成
- 一次相転移 — 相境界面の形成と成長

1つの具体例 — GUT Baryogenesis

[Yoshimura, Phys. Rev. Lett. 41 ('78)]

minimal $SU(5)$ model:

$$\text{matter: } \begin{cases} 5^*: \psi_L^i & \ni d_R^c, l_L \\ 10: \chi_{[ij]L} & \ni q_L, u_R^c, e_R^c \end{cases}$$

$$i = 1 - 5 \rightarrow (\alpha = 1 - 3, a = 1, 2)$$

$$\text{gauge: } A_\mu = \begin{pmatrix} G_\mu, B_\mu & X_\mu^{a\alpha} \\ X_\mu^{a\alpha} & W_\mu, B_\mu \end{pmatrix}$$

$$\mathcal{L}_{\text{int}} \ni g \bar{\psi} \gamma^\mu A_\mu \psi + g \text{Tr} [\bar{\chi} \gamma^\mu \{A_\mu, \chi\}]$$

$$\ni g X_{\alpha\mu}^a [\varepsilon^{\alpha\beta\gamma} \bar{u}_{R\gamma}^c \gamma^\mu q_{L\beta} + \epsilon_{ab} (\bar{q}_{Lb}^{\alpha} \gamma^\mu e_R^c + \bar{l}_{Lb} \gamma^\mu d_R^{c\alpha})]$$

熱浴から生成された X - \bar{X} 対の崩壊での
バリオン数変化の期待値

$$\langle \Delta B \rangle = \frac{2}{3}r - \frac{1}{3}(1-r) - \frac{2}{3}\bar{r} + \frac{1}{3}(1-\bar{r}) = r - \bar{r}$$

$\therefore C$ または CP が保存されるなら ($r = \bar{r}$)

$$\implies \Delta B = 0$$

過程	分岐比	ΔB
$X \rightarrow qq$	r	$2/3$
$X \rightarrow \bar{q}\bar{l}$	$1-r$	$-1/3$
$\bar{X} \rightarrow \bar{q}\bar{q}$	\bar{r}	$-2/3$
$\bar{X} \rightarrow q, l$	$1-\bar{r}$	$1/3$

逆過程がsuppressされるならば、 $B \propto r - \bar{r}$ が生成される。

実際、 $T \simeq m_X$ では、 X の崩壊率: $\Gamma_D \simeq \alpha m_X$ ($\alpha \sim 1/40$)

$\rightarrow \Gamma_D \simeq H(T = m_X)$ なので、 $X\bar{X}$ 対の生成・消滅は平衡から外れる。

$$H(T) \simeq 1.66 \sqrt{g_*} \frac{T^2}{m_{Pl}}$$

g_* :有効massless自由度

$SU(5)$ modelは $(B - L)$ を保存 – $(B + L)$ を生成

\rightarrow アノマリによる $\Delta(B + L) \neq 0$ 過程 が平衡になると $B + L \rightarrow 0$ [後述]



baryogenesisの新しい可能性

$\Delta(B + L) \neq 0$ 過程が平衡になる前に $\square B - L \neq 0$ を生成しておけばよい。

Leptogenesis: $\Delta L \neq 0 \rightarrow B = -L$

2. Anomalous Baryon Number Nonconservation

電弱理論の B, L カレントのアノマリ

$$\begin{aligned}\partial_\mu j_{B+L}^\mu &= \frac{N_f}{16\pi^2} [g_2^2 \text{Tr}(\textcolor{blue}{F}_{\mu\nu} \tilde{F}^{\mu\nu}) - g_1^2 \textcolor{red}{B}_{\mu\nu} \tilde{B}^{\mu\nu}] \\ \partial_\mu j_{B-L}^\mu &= 0\end{aligned}$$

N_f = 世代数

$$\tilde{F}^{\mu\nu} \equiv \frac{1}{2} \epsilon^{\mu\nu\rho\sigma} F_{\rho\sigma}$$

これらの式の和を積分して

$$\begin{aligned}B(t_f) - B(t_i) &= \frac{N_f}{32\pi^2} \int_{t_i}^{t_f} d^4x [g_2^2 \text{Tr}(\textcolor{blue}{F}_{\mu\nu} \tilde{F}^{\mu\nu}) - g_1^2 \textcolor{red}{B}_{\mu\nu} \tilde{B}^{\mu\nu}] \\ &= N_f [N_{CS}(t_f) - N_{CS}(t_i)]\end{aligned}$$

ここで N_{CS} は Chern-Simons number: $A_0 = 0$ -gauge では

$$N_{CS}(t) = \frac{1}{32\pi^2} \int d^3x \epsilon_{ijk} \left[g_2^2 \text{Tr} \left(\textcolor{blue}{F}_{ij} A_k - \frac{2}{3} g_2 A_i A_j A_k \right) - g_1^2 \textcolor{red}{B}_{ij} \textcolor{red}{B}_k \right]_t$$

gauge系の古典的真空 : $\mathcal{E} = \frac{1}{2}(\mathbf{E}^2 + \mathbf{B}^2) = 0 \iff F_{\mu\nu} = B_{\mu\nu} = 0$

$\iff A_\mu = iU^{-1}\partial_\mu U, B_\mu = \partial_\mu v$ with $U \in SU(2)$ $U(x) : S^3 \rightarrow U \in SU(2) \simeq S^3$

$\pi_3(S^3) \simeq \mathbb{Z} \implies U(x)$ は整数 N_{CS} で分類される

$\frac{ig_2^3}{48\pi^2} \int d^3x \epsilon_{ijk} \text{Tr}[U^{-1}\partial_i U U^{-1}\partial_j U U^{-1}\partial_k U]$ が整数の winding number

2次元 $U(1)$ ゲージ理論の例:

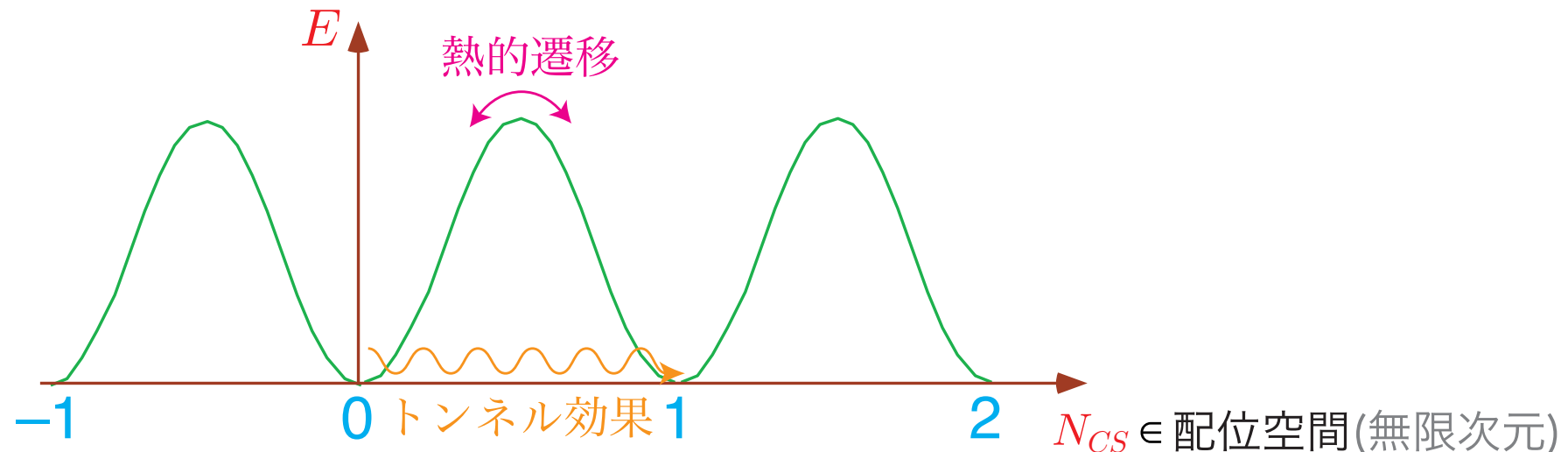
axial $U(1)$ anomaly \rightarrow axial fermion 数の変化

$$\Delta Q_5 = \frac{g}{4\pi} \int_{t_i}^{t_f} dt dx \epsilon_{\mu\nu} F_{\mu\nu} = N_{CS}(t_f) - N_{CS}(t_i),$$

$$N_{CS}(t) = \frac{g}{2\pi} \int dx A_1(t, x).$$

真空配位: $A_1(x) = \frac{1}{g} \partial_x \alpha(x)$ with $\alpha(\infty) - \alpha(-\infty) = 2\pi N$

$$\therefore N_{CS} = N$$



$\Delta B \neq 0$ 過程 $\left\{ \begin{array}{ll} \triangleright \text{量子トンネル効果} & \text{低温} \\ \triangleright \text{熱的遷移} & \text{高温} \end{array} \right.$

トンネル確率 $\sim e^{-2S_{\text{instanton}}} = e^{-8\pi^2/g_2^2} \simeq e^{-164} \ll 1 \quad \therefore \text{陽子崩壊の問題なし}$

熱的遷移確率 $\sim e^{-E_{\text{sph}}/T}$

E_{sph} = Sphaleronという場の古典解のエネルギー

$T > T_C$ ではsphaleron解は存在しないが、慣例的に
anomalyによる $\Delta(B + L) \neq 0$ 過程を **スファレロン過程**という。

N_{CS} の変化とフェルミオン数

古典的場の配位が変化する際のフェルミオン数の変化

- index定理

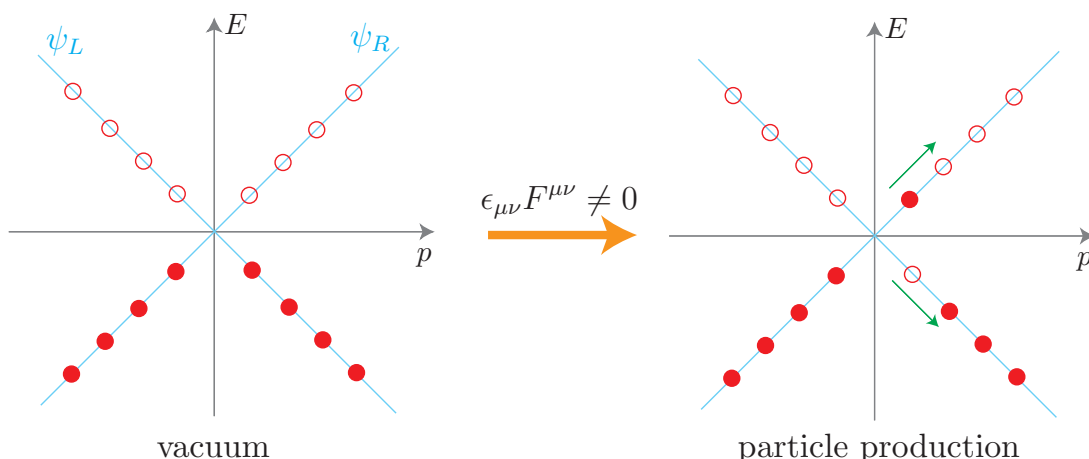
[Atiyah and Singer, 1968]

$$n_R - n_L = \nu = \frac{g^2}{16\pi} \int d^4x \text{Tr}(F_{\mu\nu}\tilde{F}^{\mu\nu})$$

$\Delta(\text{chiral fermions}) = \text{Pontrjagin index} = \text{instanton number}$

- spectral flow (level crossing)

[Ambjørn, et al. Nucl. Phys. B221 ('83)]



断熱的にgauge場をon-off

▷ (1 + 1)次元の例

Dirac eq. $i\gamma^\mu(\partial_\mu - igA_\mu(x))\psi(x) = 0$ $[\gamma^0 = \sigma_1, \gamma^1 = i\sigma_2; \gamma_3 = \gamma^0\gamma^1 = -\sigma_3]$

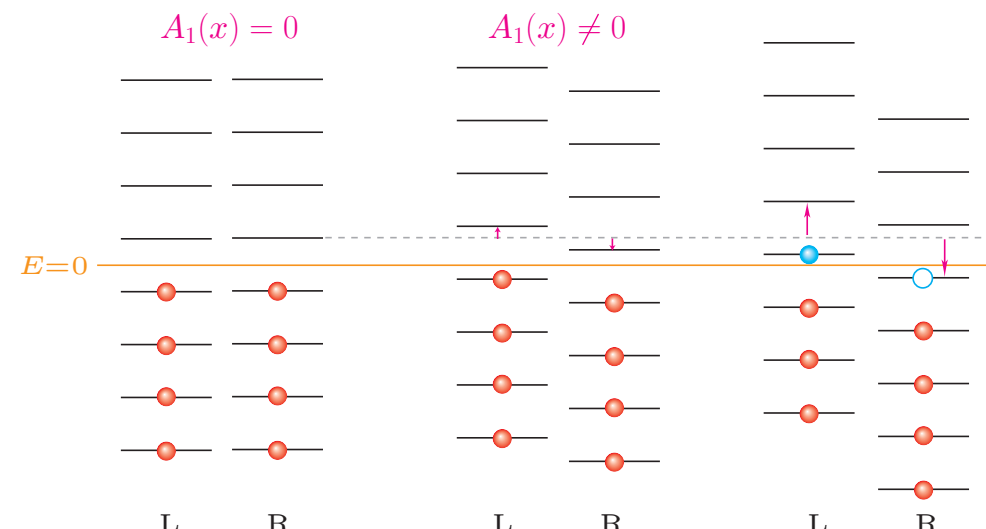
$$\xrightarrow{A_0=0} i\partial_t\psi(x) = \mathbf{H}\psi(x) \equiv i\sigma_3 (\partial_x - igA_1(x))\psi(x) = \begin{cases} i(\partial_x - igA_1(x))\psi_L(x) \\ -i(\partial_x - igA_1(x))\psi_R(x) \end{cases}$$

周期的境界条件: $\psi(x + L) = \psi(x)$

t -indep. gauge trf. $\tilde{\psi}(x) = \exp\left(ig \int_0^x dx' A_1(x')\right) \psi(x)$

→ $\mathbf{H}\tilde{\psi}(x) = i\sigma_3\partial_x\tilde{\psi}(x)$ with $\tilde{\psi}(x + L) = e^{ig \int_0^L dx A_1(x)}\psi(x + L) = e^{i\alpha L}\tilde{\psi}(x)$

$$\Rightarrow \tilde{\psi}(x) = e^{ipx} \quad \text{with } p = \frac{2\pi n}{L} + \alpha \quad (n \in \mathbb{Z}) \quad \begin{cases} \mathbf{H}\tilde{\psi}_L(x) = +p\tilde{\psi}(x) \\ \mathbf{H}\tilde{\psi}_R(x) = -p\tilde{\psi}(x) \end{cases}$$



対生成

$\alpha \rightarrow \frac{2\pi}{L}$: 真空に戻る

3. Sphaleron Process

Sphaleron

語源: $\sigma\varphi\alpha\lambda\epsilon\rho\sigma s$ = ready-to-fall, deceitful (偽りの)

[cf. a·sphalt]

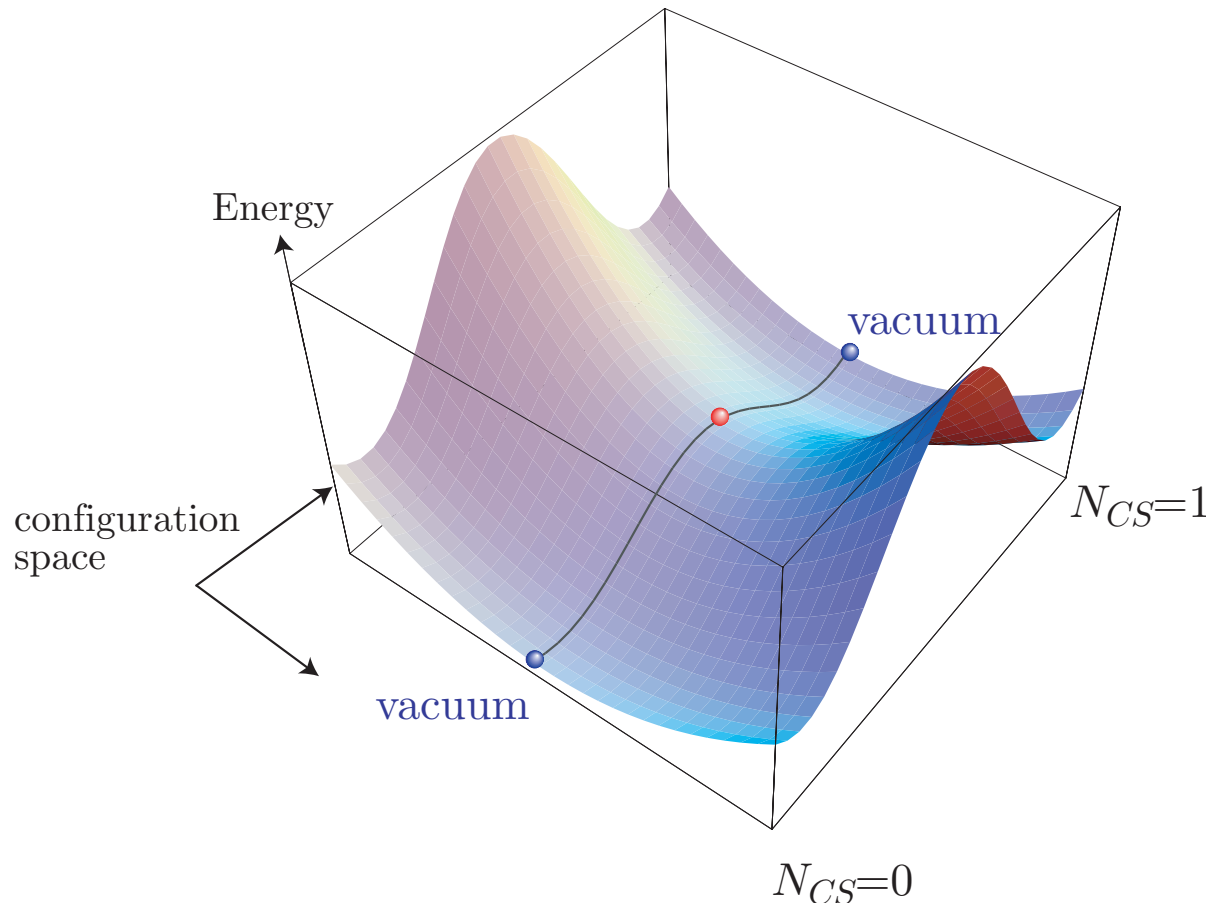
[Klinkhamer and Manton, Phys. Rev. D30 ('84)]

- ▷ 場の理論の静的古典解 (有限エネルギー)
- ▷ 不安定 — 古典解の周りの揺らぎのスペクトルに1個の負モード

既知のSphaleron解

4-dim. SU(2) gauge + 1-doublet Higgs	[Klinkhamer and Manton, Phys. Rev. D30 ('84)]
2-dim. $U(1)$ gauge-Higgs model	[Bocharev and Shaposhnikov, Mod. Phys. Lett. A2 ('87)]
2-dim. $O(3)$ nonlinear sigma model	[Mottola and Wipf, Phys. Rev. D39 ('89)]
2-Higgs-Doublet Model	[Kastening, Peccei and Zhang, Phys. Lett. B266 ('91)]
MSSM with $V_{\text{eff}}(T)$	[Moreno, Oaknin and Quiros, Nucl. Phys. B483 ('97)]
	[KF and Senaha, hep-ph/0905.2022]
Next-to-MSSM	[KF, Kakuto, Tao and Toyoda, Prog. Theor. Phys. 114 ('05)]

鞍点(saddle point) = least-energy path 上の maximum-energy configuration



least-energy path/gauge trf. = noncontractible loop
↔
highest symmetry config.

[Manton, Phys. Rev. D28 ('83)]

バリオン数変化率

— [1/volume/time]

4次元 $SU(2)$ gauge-Higgs 系 (1-doublet)

[Arnold and McLerran, Phys. Rev. D36 ('87)]

★ broken phase — WKB approx. of $\text{Im}F(T)$

$$\Gamma_{\text{sph}}^{(b)}(T) \simeq k \mathcal{N}_{\text{tr}} \mathcal{N}_{\text{rot}} \frac{\omega_-}{2\pi} \left(\frac{\alpha_W(T)T}{4\pi} \right)^3 e^{-E_{\text{sph}}/T}$$

zero modes: $\mathcal{N}_{\text{tr}} = 26$, $\mathcal{N}_{\text{rot}} = 5.3 \times 10^3$ for $\lambda = g^2$

negative mode: $\omega_-^2 \simeq (1.8 \sim 6.6)m_W^2$ for $10^{-2} \leq \lambda/g^2 \leq 10$

$$k \simeq O(1)$$

★ symmetric phase — 次元解析

$$\Gamma_{\text{sph}}^{(s)}(T) \simeq \kappa (\alpha_W T)^4$$

MC simulation $\Rightarrow \langle N_{CS}(t)N_{CS}(0) \rangle \sim \langle N_{CS} \rangle^2 + Ae^{-\Gamma V t}$

$\kappa = 1.09 \pm 0.04$ $SU(2)$ pure gauge 系 [Ambjørn and Krasnitz, P.L.B362('95)]

平衡スファレロン過程と量子数

統計力学の復習

平衡系の統計力学が使える条件: 宇宙の膨張率 $H(t) < \Gamma(T)$ 粒子の反応率

一種の自由粒子(自由度= g)について、 $(k_B = 1)$

自由エネルギー密度: $f = \frac{F}{V} = \pm g T \int \frac{d^3 p}{(2\pi)^3} \log \left[1 \mp e^{-(\epsilon_p - \mu)/T} \right]$

エネルギー密度: $\epsilon = g \int \frac{d^3 p}{(2\pi)^3} \frac{\epsilon_p}{e^{(\epsilon_p - \mu)/T} \mp 1}$

粒子数密度: $n = g \int \frac{d^3 p}{(2\pi)^3} \frac{1}{e^{(\epsilon_p - \mu)/T} \mp 1}$

エントロピー密度: $s = -\frac{\partial f}{\partial T}$

$$\epsilon_p = \sqrt{\mathbf{p}^2 + m^2}, \quad \mu = \text{化学ポテンシャル}$$

上の符号がボソン、下の符号がフェルミオン

	高温($T \gg m, \mu$)	低温($T \ll m$)
$f (= -P)$	$-g \left\{ \frac{1}{7/8} \right\} \frac{\pi^2}{90} T^4$	
ϵ	$g \left\{ \frac{1}{7/8} \right\} \frac{\pi^2}{30} T^4$	$g m \left(\frac{mT}{2\pi} \right)^{3/2} e^{-(m-\mu)/T}$
n	$g \left\{ \frac{1}{3/4} \right\} \frac{\zeta(3)}{\pi^2} T^3$	$g \left(\frac{mT}{2\pi} \right)^{3/2} e^{-(m-\mu)/T} = \frac{\epsilon}{m}$
s	$g \left\{ \frac{1}{7/8} \right\} \frac{2\pi^2}{45} T^3$	

宇宙が冷えるときの質量 m の粒子

$T \gg m$: 何らかの相互作用が十分速ければ、 $n \propto T^3$ **kinetic equilibrium**

$T \sim m$: 

相互作用が速ければ平衡分布をたどる — 軽い粒子にdecay	→ 急激に減少 $\sim e^{-m/T}$
相互作用が遅いと平衡分布から外れる	→ decay出来ずに残る

定量的解析 = 分布函数に対する方程式 — **Boltzmann方程式** を解く

例) GUTバリオン数生成、レプトン数生成、ダークマター残存量

相互作用の時間スケール: \bar{t}

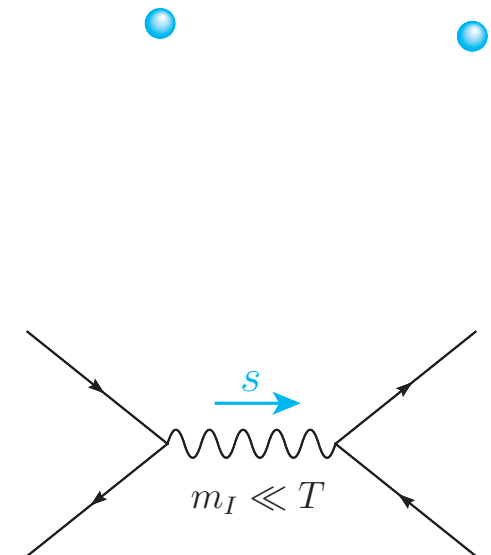
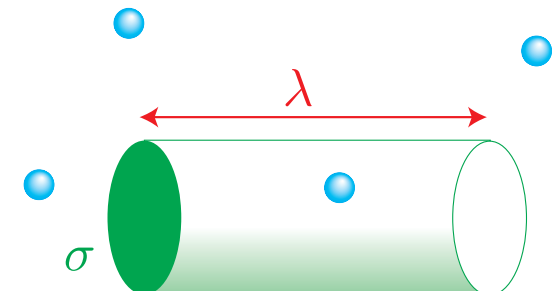
$[T \gg m]$

- ▷ 相対論的粒子 $\Rightarrow (\text{反応率})^{-1} = \bar{t} \simeq \lambda$: mean free path
- ▷ その粒子の相互作用全断面積 = σ
- ▷ 粒子数密度 = $n(T) \simeq g_{*n} \frac{\zeta(3)}{\pi^2} T^3$

$$g_{*n} = \sum_B g_B + \frac{3}{4} \sum_F g_F$$

$$\boxed{\sigma \cdot \lambda = \frac{1}{n(T)}}$$

中間状態の質量 $m_I \ll T \rightarrow \sigma \simeq \frac{\alpha^2}{s} \simeq \frac{\alpha^2}{T^2}$ ($\alpha = \frac{e^2}{4\pi}$)



$$\therefore \bar{t} = \lambda \simeq \frac{10}{g T^3} \left(\frac{\alpha^2}{T^2} \right)^{-1} = \frac{10}{g \alpha^2 T}$$

放射優勢期の膨張率 $H(T) = \sqrt{\frac{8\pi G}{3} \rho(T)} \simeq 1.66\sqrt{g_*} \frac{T^2}{m_P}$

$$\left\{ \begin{array}{l} g_* = \text{放射自由度} \\ m_P = 1.2 \times 10^{19} \text{GeV} \end{array} \right.$$

宇宙の膨張の時間スケール $H(T)^{-1} \simeq \frac{m_P}{1.66\sqrt{g_*} T^2} \quad 10^{14} \text{GeV}^{-1} \text{ at } T = 100 \text{GeV}$

素過程の時間スケール $\bar{t} \simeq \lambda = \frac{1}{\sigma n(T)} \simeq \frac{1}{\alpha^2 T} \quad 1 - 10 \text{GeV}^{-1} \text{ (strong-EW int.)}$

スファレロン過程(sym.) $\bar{t}_{\text{sph}}^{(\text{sym})} \simeq \frac{1}{\alpha_W^4 T} \quad 10^3 \text{GeV}^{-1}$

スファレロン過程(br.) $\bar{t}_{\text{sph}}^{(\text{br})} \simeq \frac{1}{\alpha_W^4 T} e^{E_{\text{sph}}/T}$

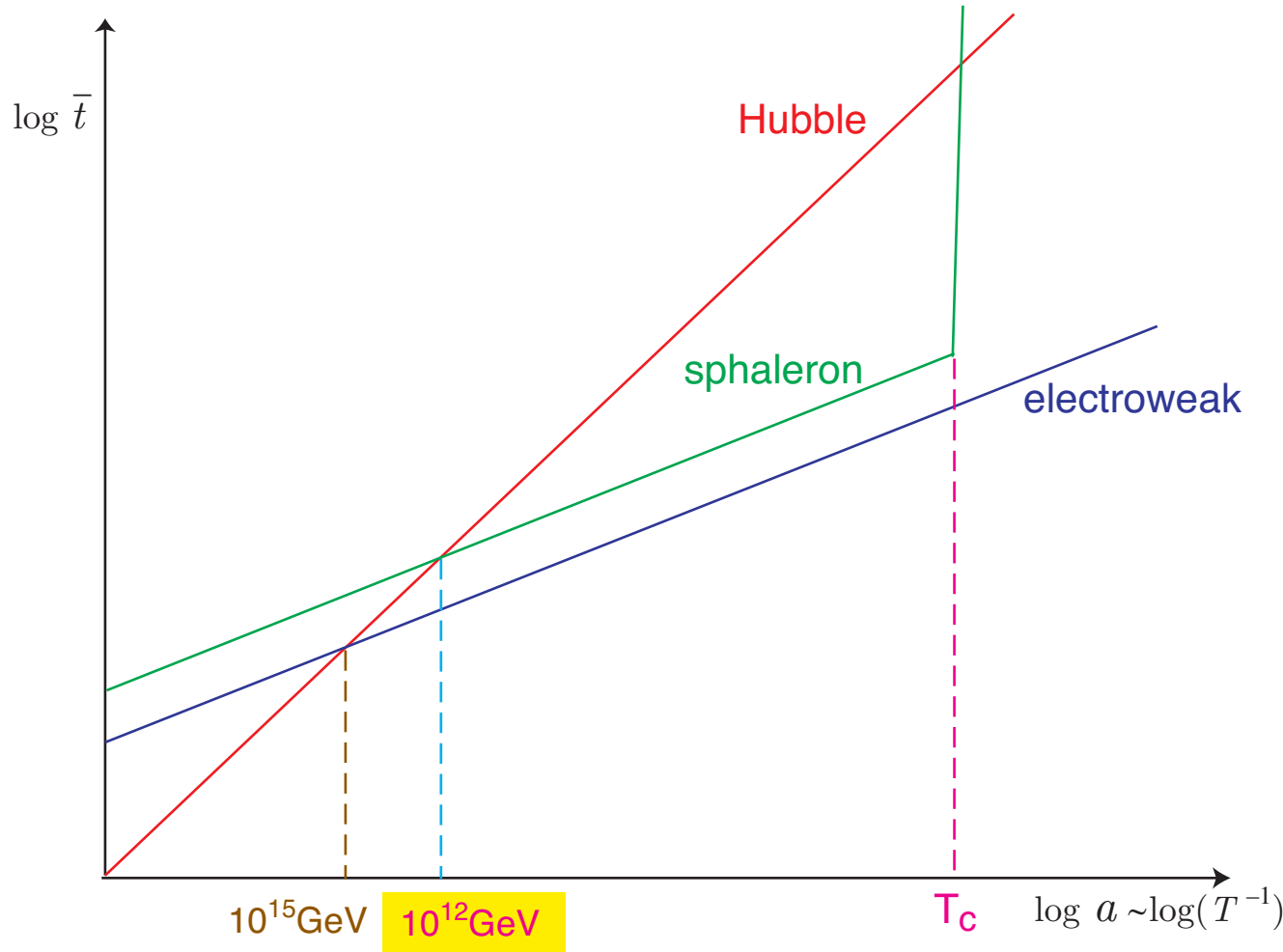
$T = T_C \simeq 100 \text{GeV}$ で電弱相転移 $= SU(2)_L \times U(1)_Y$ の自発的破れ $\langle \Phi \rangle_T \neq 0$

* $T > T_C$ (対称相) $\implies \bar{t}_{\text{QCD}} < \bar{t}_{EW} < \bar{t}_{\text{sph}}^{(\text{sym})} \ll H(T)^{-1}$

\therefore 全てのゲージ相互作用と、スファレロン過程は化学平衡

* $T \lesssim T_C$ (非対称相) $\implies \bar{t}_{\text{QCD}} < \bar{t}_{EW} \ll H(T)^{-1}$

\therefore 全てのゲージ相互作用は化学平衡



電弱相転移直後 $v(T_C) \ll 200\text{GeV}$ (弱い一次、または二次転移) のとき、

$T_{\text{dec}} < T < T_C \implies \bar{t}_{\text{sph}}^{(\text{br})} > H(T)^{-1}$ となる T_{dec} が存在する。

→ 非対称相できえ、スファレロン過程は化学平衡

平衡状態での量子数

ースファレロンが化学平衡なら残る $B \propto (B - L)$

保存量 $Q_i ([H, Q_i] = 0)$ があるとき、分配函数: $Z(T, \mu) \equiv \text{Tr} \left[e^{-(H - \sum_i \mu_i Q_i)/T} \right]$ より

$$\langle Q_i \rangle(T, \mu) = T \frac{\partial}{\partial \mu_i} \log Z(T, \mu) \quad \longrightarrow Q_i \text{と } \mu_i \text{ の関係}$$

LFVが無い電弱理論: $Q_i = B/N_f - L_i$, unbroken gauge charge

現実には $Z(T, \mu)$ の計算は困難

(\because 全ての場についての経路積分、非摂動効果)



- 摂動論

[Khebnikov & Shaposhnikov, Phys. Lett. B387 ('96);
Laine & Shaposhnikov, Phys. Rev. D61 ('00)]

- 自由場近似

各粒子の化学ポテンシャル μ を導入し、 Q_i を粒子の μ で表す。

粒子の μ には化学平衡の関係式 (e.g. $\mu_A + \mu_B = \mu_C$) が成り立つ。

★ massless free-field approximation

$$\langle N \rangle = \langle n \rangle - \langle \bar{n} \rangle = \int \frac{d^3 k}{(2\pi)^3} \left[\frac{1}{e^{(\omega_k - \mu)/T} \mp 1} - \frac{1}{e^{(\omega_k + \mu)/T} \mp 1} \right]$$

$$\stackrel{m \ll T}{\simeq} \frac{T^3}{2\pi^2} \int_0^\infty dx \left[\frac{x^2}{e^{x - \mu/T} \mp 1} - \frac{x^2}{e^{x + \mu/T} \mp 1} \right]$$

$$\stackrel{|\mu| \ll T}{\simeq} \begin{cases} \frac{T^3}{3} \cdot \frac{\mu}{T}, & \text{(bosons)} \\ \frac{T^3}{6} \cdot \frac{\mu}{T}, & \text{(fermions)} \end{cases}$$

cf. $s = \frac{2\pi^2}{45} g_* T^3 \rightarrow \frac{\langle N \rangle}{s} \sim \frac{|\mu|}{T} \simeq 10^{-10} \ll 1$

質量の効果 → [Dreiner & Ross, Nucl. Phys. B410 ('93)]

粒子の化学ポテンシャル — N 世代のフェルミオン、 N_H 個のHiggs doublets ($\phi^0 \phi^-$)

W^-	$u_{L(R)}$	$d_{L(R)}$	$e_{iL(R)}$	ν_{iL}	ϕ^0	ϕ^-	$(3N + 7) \mu's$
μ_W	$\mu_{u_{L(R)}}$	$\mu_{d_{L(R)}}$	$\mu_{e_{iL(R)}}$	$\mu_{\nu_{iL}}$	μ_0	μ_-	

W は横波自由度のみ, $\phi^{0,-}$ はNG modeもカウント

color, charge neutrality $\rightarrow \mu_{\text{gluon}} = \mu_{Z,\gamma} = 0$

quark mixingは化学平衡, LFVは無し

化学平衡 $\left\{ \begin{array}{l} \text{gauge: } \mu_W = \mu_{d_L} - \mu_{u_L} = \mu_{i_L} - \mu_i = \mu_- + \mu_0 \quad N + 2 \\ \text{Yukawa: } \mu_0 = \mu_{u_R} - \mu_{u_L} = \mu_{d_L} - \mu_{d_R} = \mu_{i_L} - \mu_{i_R} \quad N + 2 \end{array} \right.$

$$\therefore 3N + 7 - 2(N + 2) = N + 3 \text{ 個の独立な } \mu : (\mu_W, \mu_0, \mu_{u_L}, \mu_i)$$

sphaleron process : $|0\rangle \rightleftharpoons \prod_i (u_L d_L d_L \nu_L)_i \iff N(\mu_{u_L} + 2\mu_{d_L}) + \sum_i \mu_i = 0$

量子数密度 [$T^2/6$ を単位とする]

$$B = N(\mu_{u_L} + \mu_{u_R} + \mu_{d_L} + \mu_{d_R}) = 4N\mu_{u_L} + 2N\mu_W,$$

$$L = \sum_i (\mu_i + \mu_{iL} + \mu_{iR}) = 3\mu + 2N\mu_W - N\mu_0$$

$$\begin{aligned} Q &= \frac{2}{3}N(\mu_{u_L} + \mu_{u_R}) \cdot 3 - \frac{1}{3}N(\mu_{d_L} + \mu_{d_R}) \cdot 3 - \sum_i (\mu_{iL} + \mu_{iR}) - 2 \cdot 2\mu_W - 2N_H\mu_- \\ &= 2N\mu_{u_L} - 2\mu - (4N + 4 + 2N_H)\mu_W + (4N + 2N_H)\mu_0 \end{aligned}$$

$$\begin{aligned} I_3 &= \frac{1}{2}N(\mu_{u_L} - \mu_{d_L}) \cdot 3 + \frac{1}{2}\sum_i (\mu_i - \mu_{iL}) - 2 \cdot 2\mu_W - 2 \cdot \frac{1}{2}N_H(\mu_0 + \mu_-) \\ &= -(2N + N_H + 4)\mu_W \end{aligned}$$

ここで $\mu \equiv \sum_i \mu_i$ と置いた。

- $T \gtrsim T_C$ (symmetric phase) $Q = I_3 = 0$ を要請。 ($\mu_W = 0$)

$$B = \frac{8N + 4N_H}{22N + 13N_H} (B - L), \quad L = -\frac{14N + 9N_H}{22N + 13N_H} (B - L)$$

- $T \lesssim T_C$ (broken phase) $Q = 0$ and $\mu_0 = 0$ ($\because \phi^0$ condensates)

$$B = \frac{8N + 4(N_H + 2)}{24N + 13(N_H + 2)} (B - L), \quad L = -\frac{16N + 9(N_H + 2)}{24N + 13(N_H + 2)} (B - L)$$

何れにせよ、 $(B - L)_{\text{primordial}} = 0$ ならば $B = L = 0$

\therefore 現在の宇宙に物質(baryon)が存在するためには、

- (i) sphaleron過程が脱結合する前に、 $B - L \neq 0$ が存在する。
- (ii) $B + L$ を電弱一次相転移で生成し、且つ、
その後直ちにsphaleron過程が無効になる。

のどちらかでなければならない。

4. Requirements for EW Baryogenesis

電弱理論やその拡張に基づく → 実験で検証可能 (逆に言えば、制限がきつい)

(1) バリオン数非保存過程 = スファレロン過程 ($\Delta(B + L) \neq 0$)

平衡ならwash out → 生成直後にdecouple

(2) CP対称性の破れ

KM位相では不十分 [後述]

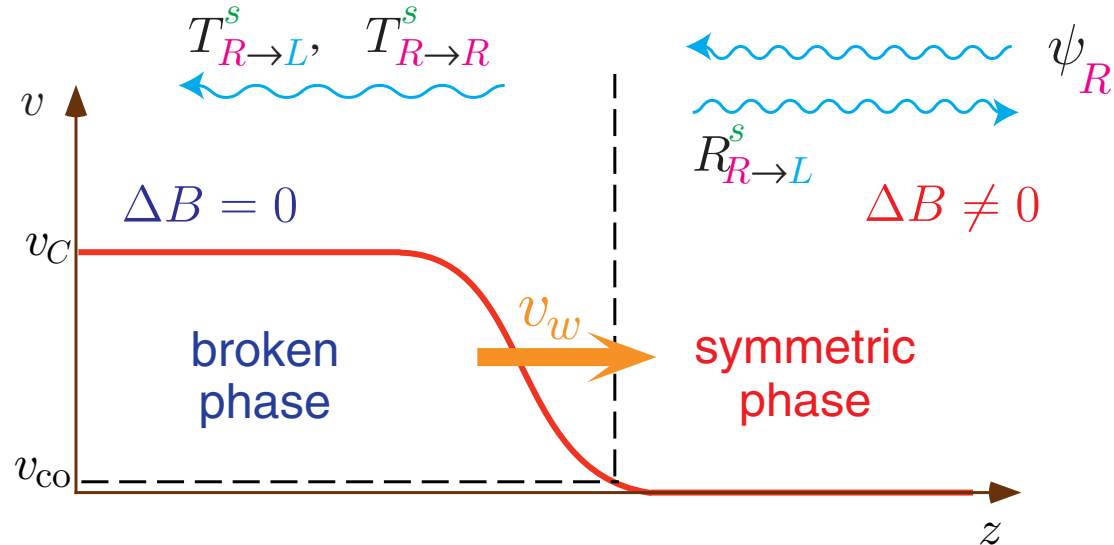
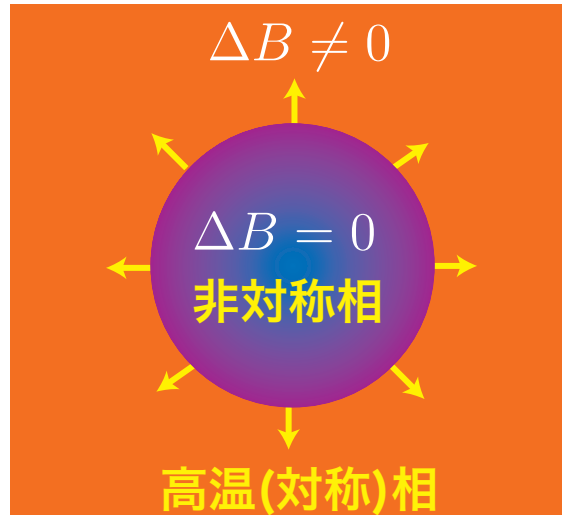
⇒ 標準理論の拡張 — SUSY-SM, extra Higgs, …

(3) 非平衡状態

$\bar{t}_{EW} = 10\text{GeV} < \bar{t}_{\text{sph}}^{(\text{sym})} = 10^3\text{GeV} \ll H(T)^{-1} = 10^{14}\text{GeV}$ at $T \simeq 100\text{GeV}$

→ 宇宙膨張は無視できる

⇒ 電弱相転移が、相境界の形成・成長を伴う一次転移



bubble wall (= Higgs + gauge config.)とのCPを破る相互作用 — *B-conserving*



ψ_L と ψ_R の反射率の差 + bubble wallの運動



chiral charge ($Q_L \neq Q_R$) が対称相に流れ込む

$$\text{flux} \propto (Q_L - Q_R) \times (R_{R \rightarrow L}^s - R_{L \rightarrow R}^s)$$



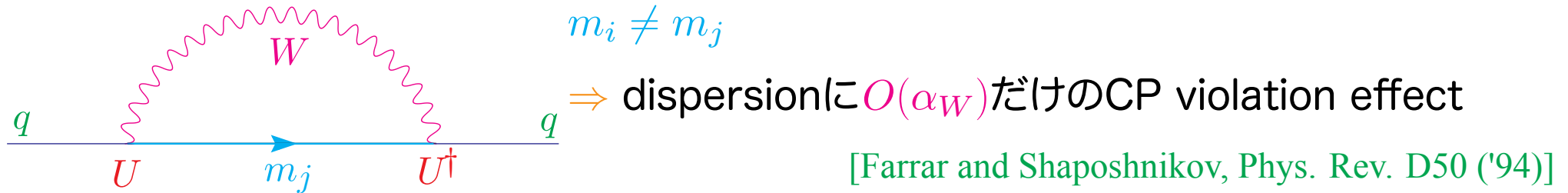
スファレロン過程にバイアス $\mu_B \neq 0$



$$\dot{n}_B = -\frac{\mu_B}{T} \Gamma_{\text{sph}}^{(s)} \implies \text{生成後直ちに非対称相で凍結}$$

標準理論でEWBGは可能か？

- ▷ $m_h > 114\text{GeV}$ (LEPII) \Rightarrow 電弱相境界はcross over
- ▷ CP対称性の破れはKM位相だけ



Weak int.の1-loop効果なので、かなり小さいが、さらに、

- QCD correction (short range) \rightarrow decoherence [Gavela, et al., Nucl. Phys. B430 ('94)]
- bubble wallとの多重散乱 $\rightarrow \left| \frac{n_B}{s} \right| < 10^{-26}$ [Huet and Sather, Phys. Rev. D51 ('95)]

非平衡状態の実現とCP対称性の破れの2つの条件を満たすことが出来ない。

→ 1st-order EWPT & CP violation の2条件を満たすように理論を拡張

▷ 電弱相転移が一次転移となるには、

★ boson loop からの $V_{\text{eff}}(v; T)$ への寄与 $\sim -T(m(v)^2)^{3/2}$

Higgs bosonと相互作用するbosonで、 $m(v)^2 \sim g^2 v^2$ (for $v \sim 0$)となるもの

例) 2HDMのHiggs場, SUSY-SMのsfermion [light stop $m_{\tilde{t}_1} \lesssim m_t$]

$$m(v)^2 = m_0^2 + g^2 v^2 \quad (m_0^2 \ll g^2 v_0^2)$$

★ 新しいタイプの一次相転移 — NMSSM

[KF, Tao and Toyoda, PTP 114 ('05)]

sphaleron decoupling condition \iff 現象論的制限

▷ 新たなCP対称性の破れ

★ scalar self-interactionのcomplex parameters $\lambda_{6,7}$ in 2HDM, $\mu B, A$ in SUSY-SM

★ complex Majorana mass gaugino, Higgsino soft masses in SUSY-SM

★ スカラー場の期待値がcomplex — 2つ以上の複素スカラー場の相対位相

EWBGに必要なのは、 T_C で形成されるbubble wall近傍でのCP violation

生成されるバリオン数の評価

— { I. chiral charge flux
II. diffusion equation }

I. chiral charge flux

— diffusion eq. の source term

$$(i\cancel{D} - m(x)) \psi(x) = 0$$

$$m(x) = \begin{cases} y \langle \phi(x) \rangle = y v(x) e^{i\theta(x)} \\ \langle \phi(x) \rangle \text{を含む mass matrix} \end{cases}$$

[SUSY]

▷ CP-violating wave equation

★ 数値解

[Nelson, et al, Nucl. Phys. B373 ('92); KF, et al, Prog. Theor. Phys. 95 ('96)]

★ 摂動論 — 様々な相互作用を取り入れられる、解析的関係式が導出できる

- expansion w.r.t. $\text{Im } m(x)$

[KF, et al, Phys. Rev. D50 ('94)]

- expansion w.r.t. $m(x)$

— 自由粒子の bubble wall による多重散乱

[Huet and Nelson, Phys. Lett. B355 ('95); Phys. Rev. D53 ('96)]

- derivative expansion

[Carena, et al., Nucl. Phys. B503 ('97)]

▷ Nonequilibrium field theory — Closed-Time-Path formalism

[Riotto, Phys. Rev. D53 ('96); Kainulainen, et al., JHEP 06 ('01); Phys. Rev. D66 ('02)]

II. diffusion equation — symmetric phase領域に流入するchiral chargeの評価

chargeやparticle number density Q_i に対するdiffusion equation:

$$\dot{Q}_i(t, \mathbf{x}) = D_{Q_i} \nabla^2 Q_i - \sum_j \Gamma_{ij} c_j Q_j + [\text{source term}]$$

D_Q : Q のdiffusion const. \sim mean-free pathの数倍

Γ_{ij} : 反応過程による Q_i の転換率 c_i : 統計因子

[Cohen, Kaplan, Nelson, Phys. Lett. B336 ('94); Joyce, Prokopec, Turok, Phys. Rev. D53 ('96)]

簡便計算法

非平衡定常状態 ($\dot{Q}(t, \mathbf{x}) = 0$) で、 (近似的に) 保存される量 ($\Gamma \simeq 0$)



symmetric phaseに残るtotal chargeは

D_Q と流入するflux(source term)で評価できる

簡単のため1 generationで考える。

$$\{u_L, d_L, u_R, d_R, \nu_L, e_L, e_R, \phi^0, \phi^-, W^-, Z\}$$

「symmetric phaseで $B = L = 0$ である状態に Y が注入されるときに生じる μ_B は?」

— sphaleron過程以外の素過程は化学平衡

(近似的に)保存される量子数: $Q^a = \{B - L, Y, I_3, B\} \leftrightarrow \mu_{B-L}, \mu_Y, \mu_{I_3}, \mu_B$

各粒子の数密度: $n_i = \frac{T^2}{6} k_i \mu_i = \frac{T^2}{6} k_i \sum_a q_i^a \mu_{Q^a}$

$k_i = 1$ (Weyl fermion)
$k_i = 2$ (complex boson)

$q_i^a = \text{粒子 } i \text{ が持つ charge } Q^a \text{ の値}$

$$n_{u_L(d_L)} = \frac{T^2}{6} \left(\frac{1}{3} \mu_B + \frac{1}{3} \mu_{B-L} + \frac{1}{6} \mu_Y + (-) \frac{1}{2} \mu_{I_3} \right),$$

$$n_{u_R} = \frac{T^2}{6} \left(\frac{1}{3} \mu_B + \frac{1}{3} \mu_{B-L} + \frac{2}{3} \mu_Y \right),$$

$$n_{d_R} = \frac{T^2}{6} \left(\frac{1}{3} \mu_B + \frac{1}{3} \mu_{B-L} - \frac{1}{3} \mu_Y \right),$$

$$n_{\nu_L(e_L)} = \frac{T^2}{6} \left(-\mu_{B-L} - \frac{1}{2} \mu_Y + (-) \frac{1}{2} \mu_{I_3} \right),$$

$$n_{e_R} = \frac{T^2}{6} (-\mu_{B-L} - \mu_Y),$$

$$n_{\phi^0(\phi^-)} = \frac{T^2}{3} \left(-\frac{1}{2} \mu_Y + (-) \frac{1}{2} \mu_{I_3} \right),$$

$$n_{W^-} = \frac{T^2}{3} (-\mu_{I_3}).$$

量子数 Q^a :

$$Q^a = \sum_i q_i^a n_i = \frac{T^2}{6} \sum_{i,b} k_i q_i^a q_i^b \mu_{Q_b}$$

化学平衡 $\rightarrow \mu_Y = \mu_{I_3}$

$$B = \frac{1}{3} \cdot 3_{\text{color}} (n_{u_L} + n_{d_L} + n_{u_R} + n_{d_R}) = \frac{T^2}{6} \left(\frac{4}{3} (\mu_B + \mu_{B-L}) + \frac{2}{3} \mu_Y \right),$$

$$B - L = B - \frac{T^2}{6} (-3\mu_{B-L} - 2\mu_Y),$$

$$\begin{aligned} Y &= 3 \left[\frac{1}{6} (n_{u_L} + n_{d_L}) + \frac{2}{3} n_{u_R} - \frac{1}{3} n_{d_R} \right] - \frac{1}{2} (n_{\nu_L} + n_{e_L}) - n_{e_R} - \frac{\textcolor{teal}{m}}{2} (n_{\phi^0} + n_{\phi^-}) \\ &= \frac{T^2}{6} \left[\frac{2}{3} \mu_B + \frac{8}{3} \mu_{B-L} + \left(\frac{10}{3} + \textcolor{teal}{m} \right) \mu_Y \right] \quad (m = \text{Higgs doubletの数}) \end{aligned}$$

$B = L = 0$ を課すと、 $\mu_{B-L} = -\frac{2}{3} \mu_Y$, $\mu_B = \frac{1}{6} \mu_Y$ $\longrightarrow Y = \frac{T^2}{6} \left(\textcolor{teal}{m} + \frac{5}{3} \right) \mu_Y$

$\therefore \boxed{\mu_B = \frac{Y}{(\textcolor{teal}{m} + 5/3)T^2}}$

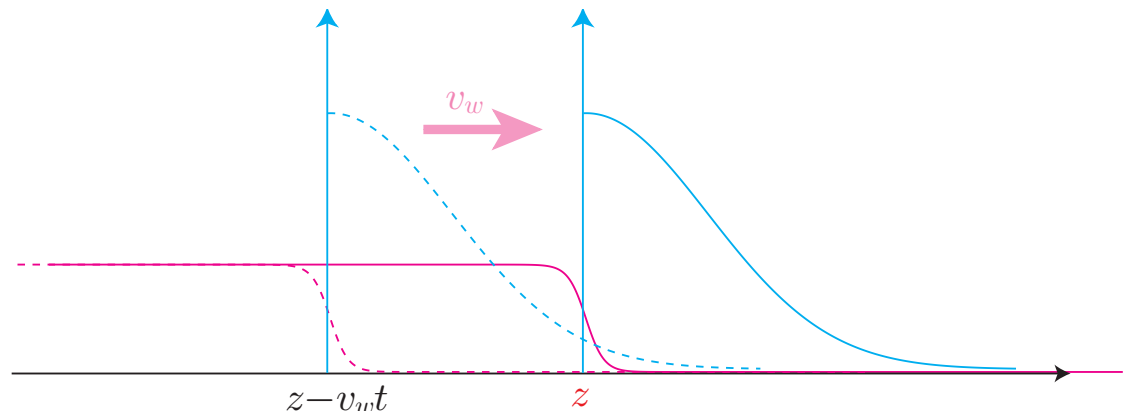
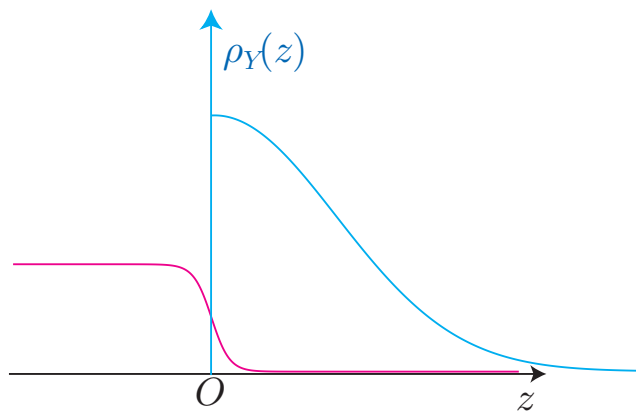
★ 生成されるBAU

$$n_B = -3 \frac{\Gamma_{\text{sph}}}{T} \int dt \mu_B = \frac{3 \Gamma_{\text{sph}}}{(\textcolor{violet}{m} + 5/3) T^3} \int_{-\infty}^{z/v_w} dt \rho_Y(z - v_w t)$$

bubble wallは一定速度 v_w で動くとする。

$\rho_Y(z)$: wallから距離 z の Y -density

⇒ 右辺の積分=無限の過去から現在の位置 z までwallが動く間に貯まる Y の総量



$$\rightarrow \int_{-\infty}^{z/v_w} dt \rho_Y(z - v_w t) = \frac{1}{v_w} \int_0^\infty dz \rho_Y(z) \simeq \frac{F_Y \tau}{v_w} \quad (\textcolor{red}{F}_Y = \text{injected flux})$$

τ : wallで散乱された粒子がwallに捕まるまでに走る時間 \simeq diffusion length

$$\text{BAU: } \frac{n_B}{s} \simeq 3\mathcal{N} \frac{100}{\pi^2 g_*} \cdot \kappa \alpha_W^4 \cdot \frac{F_Y}{v_w T^3} \cdot \tau T$$

$$\mathcal{N} \sim O(1), \quad \tau \simeq \text{m.f.p.} \rightarrow \tau T \simeq \begin{cases} 1 & \text{for quarks} \\ 10^2 \sim 10^3 & \text{for leptons} \end{cases}$$

m.f.p.はtotal cross sectionを用いて評価されるが、

MC simulation \Rightarrow forward scattering enhanced :

for top quark $\tau T \simeq 10 \sim 10^3$ max. at $v_w \simeq 1/\sqrt{3}$

for this optimal case

$$\frac{n_B}{s} \simeq 10^{-3} \cdot \frac{F_Y}{v_w T^3}$$

$$\frac{F_Y}{v_w T^3} \sim O(10^{-7}) \Rightarrow \text{十分なBAU}$$

* 計算例 — toy model

$$m(z) = m_0 \frac{1 + \tanh(az)}{2} \exp\left(-i\pi \frac{1 - \tanh(az)}{2}\right)$$

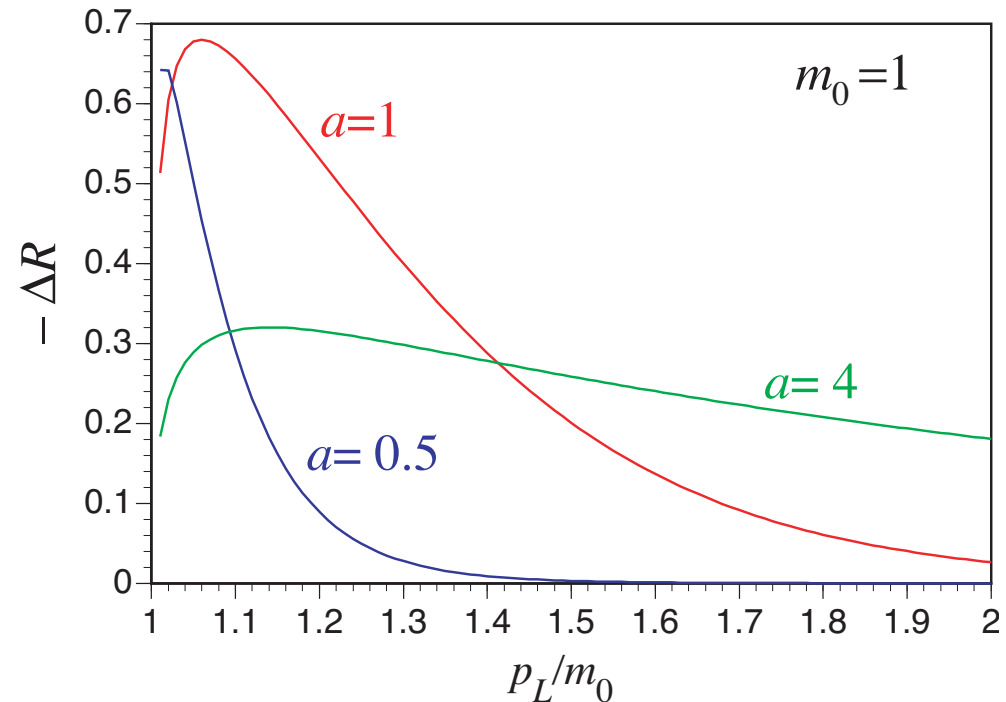
— no CP violation in the broken phase [$z \sim \infty$]

- $\Delta R \equiv R^s_{R \rightarrow L} - \bar{R}^s_{R \rightarrow L}$ [KF et al., Phys. Rev. D50 ('94); Prog. Theor. Phys. 95 ('96)]

wall width \simeq wave length of the carrier $\Rightarrow \Delta R \sim O(1)$

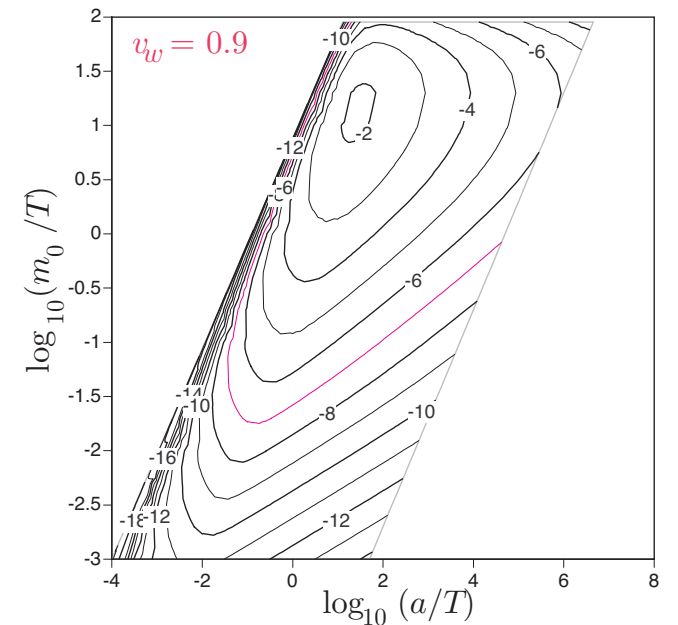
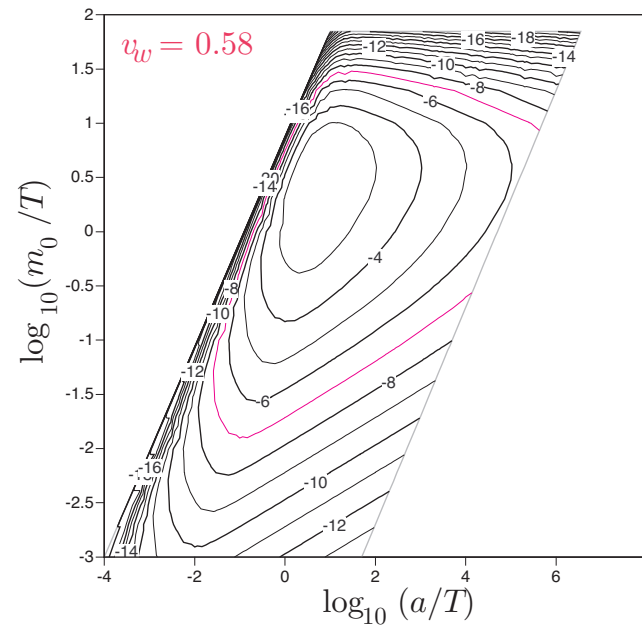
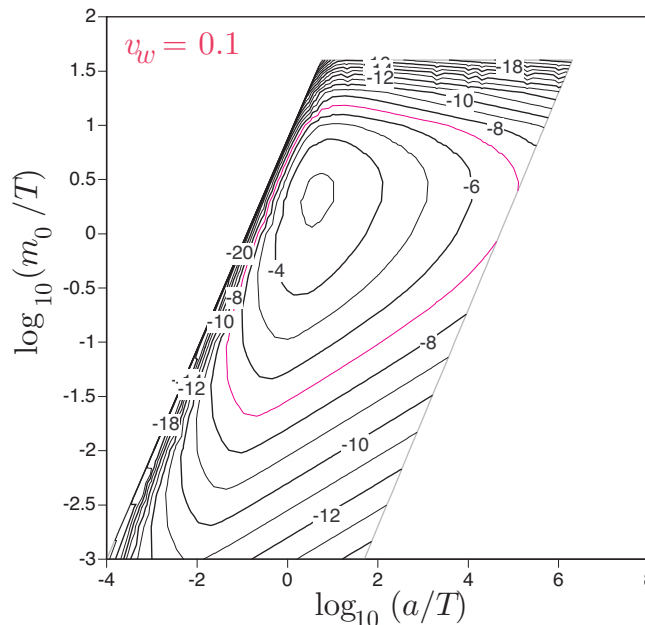


大きなYukawa couplingは
必ずしも大きなfluxを
意味しない



• chiral charge flux

$\frac{F_Q}{T^3(Q_L - Q_R)}$ [dimensionless] の log plot at $T = 100\text{GeV}$



$$\frac{n_B}{s} \simeq 3\mathcal{N} \frac{100}{\pi^2 g_*} \cdot \kappa \alpha_W^4 \cdot \frac{F_Y}{v_w T^3} \cdot \tau T^{\text{optimal}} \simeq 10^{-3} \cdot \frac{F_Y}{v_w T^3}$$

bubble wall近傍で $O(1)$ の CP phaseを仮定しているが、もっと小さくてもOK

5. Leptogenesis

この節の内容

- 5.1 Seesaw mechanism
- 5.2 CP violation in N_R -decay
- 5.3 Calculation of generated lepton number

review articles

- ★ Buchmüller, Di Bari and Plümacher, Ann. Phys. 315 ('05)
- Buchmüller, Peccei and Yanagida, Ann. Rev. Nucl. Part. Sci. 55 ('05)
[hep-ph/0502169]
- Buchmüller, hep-ph/0101102

5.1 Seesaw mechanism

Minimal SM + singlet N_R を考える。 (2-spinor notation)

$$\mathcal{L}_Y = \textcolor{blue}{y_{ij}} \epsilon^{ab} l_{aiL} e_{jR}^c \Phi_b - \textcolor{blue}{h_{ij}} \epsilon^{ab} l_{aiL} N_{jR}^c \tilde{\Phi}_b - \frac{1}{2} \textcolor{red}{M}_{ij} N_{iR}^c N_{jR}^c + \text{h.c.}$$

$SU(2)$ doublets: $l_L = \begin{pmatrix} \nu_L \\ e_L \end{pmatrix}, \quad \Phi = \begin{pmatrix} \phi^0 \\ \phi^- \end{pmatrix}, \quad \tilde{\Phi} = -i\tau_2 \Phi^* = \begin{pmatrix} -\phi^+ \\ \phi^{0*} \end{pmatrix}$

ここで y, h, M は任意の $N_f \times N_f$ 複素行列

$h \neq 0$ かつ $M \neq 0 \Rightarrow L$ -violation

★ $T = 0$ vacuum: $\langle \Phi \rangle = \begin{pmatrix} 0 \\ v_0/\sqrt{2} \end{pmatrix}$

$$\begin{aligned} \mathcal{L}_Y &\sim -\frac{y_{ij}v_0}{\sqrt{2}} e_{iL} e_{jR}^c - \frac{h_{ij}v_0}{\sqrt{2}} \nu_{iL} N_{iR}^c - \frac{1}{2} \textcolor{blue}{M}_{ij} N_{iR}^c N_{jR}^c + \text{h.c.} \\ &= -e_L^T \textcolor{blue}{m}_e e_R^c - \nu_L^T \textcolor{blue}{m}_\nu N_R^c - \frac{1}{2} N_R^c {}^T \textcolor{blue}{M} N_R^c + \text{h.c.} \end{aligned}$$

m_e と m_ν をbi-unitary変換で対角化。

$$U_L^{(e)} m_e U_R^{(e)} = \text{diag}(m_e, m_\mu, m_\tau), \quad S_L m_\nu S_R = \Lambda_D = \text{diagonal}$$

ここで $e_R^c = U_R^{(e)} e'_R^c$, $e_L = U_L^{(e)T} e'_L$, $N_R^c = S_R N'_R^c$, $\nu_L = S_L^T \nu'_L$

$\tilde{M} = S_R^T M S_R$ と置くと、mass termは

$$\mathcal{L}_m = -m_i e'_{iL}^T e'_{iR}^c - \frac{1}{2} (\nu'_L^T N'_R^c T) \begin{pmatrix} 0 & \Lambda_D \\ \Lambda_D & \tilde{M} \end{pmatrix} \begin{pmatrix} \nu'_L \\ N'_R^c \end{pmatrix} + \text{h.c.}$$

$V = \begin{pmatrix} 1 & \Lambda_D \tilde{M}^{-1} \\ -\tilde{M}^{-1} \Lambda_D & 1 \end{pmatrix}$ と 定義すると、 $V^\dagger V = 1 + O(\Lambda_D^2 \tilde{M}^{-2})$ で近似的にunitary

$$\xrightarrow{\text{---}} V^T \begin{pmatrix} 0 & \Lambda_D \\ \Lambda_D & \tilde{M} \end{pmatrix} V \simeq \begin{pmatrix} -\Lambda_D \tilde{M}^{-1} \Lambda_D & 0 \\ 0 & \tilde{M} \end{pmatrix}$$

$-T_L^T (\Lambda_D \tilde{M}^{-1} \Lambda_D) T_L = \Lambda_l$, $T_R^T \tilde{M} T_R = \Lambda_h$ とすると、

$$\mathcal{L}_{\nu-m} = -\frac{1}{2} (\nu'_L^T N'_R^c T) V^* \begin{pmatrix} T_L^* & 0 \\ 0 & T_R^* \end{pmatrix} \begin{pmatrix} \Lambda_l & 0 \\ 0 & \Lambda_h \end{pmatrix} \begin{pmatrix} T_L^\dagger & 0 \\ 0 & T_R^\dagger \end{pmatrix} V^\dagger \begin{pmatrix} \nu'_L \\ N'_R^c \end{pmatrix} + \text{h.c.}$$

mass eigenstates :
$$\begin{cases} \eta_{lL} = \textcolor{teal}{T}_L^\dagger [\nu'_L - \Lambda_D (\tilde{M}^{-1})^\dagger \textcolor{red}{N}'_R^c] \\ \eta_{hL} = \textcolor{teal}{T}_R^\dagger [N'_R^c + (\tilde{M}^{-1})^\dagger \Lambda_D \nu'_L] \end{cases}$$

gauge相互作用

$$\begin{aligned} \mathcal{L}_{CC} &\sim \frac{g_2}{2\sqrt{2}} [\bar{e}_L \bar{\sigma}^\mu \nu_L + \nu_L \sigma^\mu \bar{e}_L] W_\mu^- + \text{h.c.} \\ &\simeq \frac{g_2}{2\sqrt{2}} \left[\bar{e}_L \bar{\sigma}^\mu (U_L^{(e)*} S_L^T T_L) \eta_{lL} + \eta_{lL} \sigma^\mu (T_L^T S_L U_L^{(e)\dagger}) \bar{e}'_L \right] W_\mu^- + \text{h.c.} \end{aligned}$$

$\longrightarrow (U_{MNS})_{fi} = \left(U_L^{(e)*} S_L^T T_L \right)_{fi}$ $f = \text{lepton flavor}, i = \text{mass eigenstate}$

3 CP phases

実験・観測 \implies
$$\begin{cases} \Lambda_D \text{の成分の自乗差} \\ U_{MNS} \text{の成分} \end{cases}$$

5.2 CP violation in N_R -decay

★ $T > O(100)\text{GeV}$ — symmetric phase

gauge boson, leptonはmassless

Higgs boson (ϕ^0, ϕ^-)は全てphysicalで同じmass

heavy neutrino N のdecay asymmetry

← CP対称性の破れ

$$SU(2) \text{ symmetry} \quad \left\{ \begin{array}{l} \Gamma(N_i \rightarrow e_j^- \phi^+) = \Gamma(N_i \rightarrow \nu_j \phi^0) \equiv \Gamma(N_i \rightarrow l_j \phi) \\ \Gamma(N_i \rightarrow e_j^+ \phi^-) = \Gamma(N_i \rightarrow \bar{\nu}_j \phi^{0*}) \equiv \Gamma(N_i \rightarrow \bar{l}_j \bar{\phi}) \end{array} \right.$$

partial decay asym.

$$\varepsilon_{i \rightarrow j} \equiv \frac{\Gamma(N_i \rightarrow l_j \phi) - \Gamma(N_i \rightarrow \bar{l}_j \bar{\phi})}{\Gamma(N_i \rightarrow l_j \phi) + \Gamma(N_i \rightarrow \bar{l}_j \bar{\phi})}$$

total decay asym.

$$\varepsilon_i \equiv \frac{\sum_j \Gamma(N_i \rightarrow l_j \phi) - \sum_j \Gamma(N_i \rightarrow \bar{l}_j \bar{\phi})}{\sum_j \Gamma(N_i \rightarrow l_j \phi) + \sum_j \Gamma(N_i \rightarrow \bar{l}_j \bar{\phi})}$$

→ Leptogenesis

注: このCP破れは U_{MNS} のphaseと間接的にしか関係しない

計算例は後述

5.3 Calculation of generated lepton number

膨張する宇宙空間でのBoltzmann方程式 [in comoving frame]

$$\begin{aligned} \frac{dn_\psi(t)}{dt} + 3H(t)n_\psi(t) &= - \sum_{i,j,\dots} [\gamma(\psi \rightarrow i + j + \dots) - \gamma(i + j + \dots \rightarrow \psi)] \\ &\quad - \sum_{a,i,j,\dots} [\gamma(\psi + a \rightarrow i + j + \dots) - \gamma(i + j + \dots \rightarrow \psi + a)] \end{aligned}$$

ここで反応率 γ は次で与えられる:

$$\begin{aligned} &\gamma(\psi + a + b + \dots \rightarrow i + j + \dots) \\ &= \int d\tilde{\mathbf{p}}_\psi d\tilde{\mathbf{p}}_a \cdots d\tilde{\mathbf{p}}_j (2\pi)^4 \delta^4(p_\psi + p_a + \dots - p_i - p_j - \dots) \\ &\quad \times |\mathcal{M}(\psi + a + b + \dots \rightarrow i + j + \dots)|^2 f_\psi f_a f_b \cdots (1 \pm f_i)(1 \pm f_j) \cdots \end{aligned}$$

$$d\tilde{\mathbf{p}} \equiv \frac{d^3\mathbf{p}}{(2\pi)^3 2E_{\mathbf{p}}}, \quad f_\psi(\mathbf{p}, t) = \text{粒子}\psi\text{の分布函数}, \quad \pm = \begin{cases} \text{boson} \\ \text{fermion} \end{cases}$$

$$\text{粒子数密度: } n_\psi(t) = \int \frac{d^3\mathbf{p}}{(2\pi)^3} f_\psi(\mathbf{p}, t)$$

平衡状態では、Boltzmann eq.の右辺 = 0

平衡分布函数 f^{eq} については、energy保存則を用いると、

$$1 \pm \frac{1}{e^{\beta E} \mp 1} = \frac{e^{\beta E}}{e^{\beta E} \mp 1}$$

$$\begin{aligned} f_\psi^{\text{eq}}(1 \pm f_i^{\text{eq}})(1 \pm f_j^{\text{eq}}) \cdots &= \frac{1}{e^{\beta E_\psi} \mp 1} \frac{e^{\beta E_i}}{e^{\beta E_i} \mp 1} \frac{e^{\beta E_j}}{e^{\beta E_j} \mp 1} \cdots \\ &= \frac{e^{\beta E_\psi}}{e^{\beta E_\psi} \mp 1} \frac{1}{e^{\beta E_i} \mp 1} \frac{1}{e^{\beta E_j} \mp 1} \cdots = f_i^{\text{eq}} f_j^{\text{eq}} \cdots (1 \pm f_\psi^{\text{eq}}) \end{aligned}$$

これから

$$\begin{aligned} &\gamma(\psi \rightarrow i + j + \cdots) - \gamma(i + j + \cdots \rightarrow \psi) \\ &= \int d\tilde{\mathbf{p}}_\psi d\tilde{\mathbf{p}}_i \cdots (2\pi)^4 \delta^4(p_\psi - p_i - p_j - \cdots) f_\psi^{\text{eq}}(1 \pm f_i^{\text{eq}})(1 \pm f_j^{\text{eq}}) \cdots \\ &\quad \times \left[|\mathcal{M}(\psi \rightarrow i + j + \cdots)|^2 - |\mathcal{M}(i + j + \cdots \rightarrow \psi)|^2 \right] \end{aligned}$$

unitarity:

[Kolb and Wolfram, Appendix of Nucl. Phys. B172]

$$\begin{aligned} & \sum_{i,j,\dots} |\mathcal{M}(\psi \rightarrow i + j + \dots)|^2 (1 \pm f_i^{\text{eq}})(1 \pm f_j^{\text{eq}}) \dots \\ &= \sum_{i,j,\dots} |\mathcal{M}(i + j + \dots \rightarrow \psi)|^2 (1 \pm f_i^{\text{eq}})(1 \pm f_j^{\text{eq}}) \dots \\ \therefore & \sum_{i,j,\dots} [\gamma(\psi \rightarrow i + j + \dots) - \gamma(i + j + \dots \rightarrow \psi)] = 0 \end{aligned}$$

CP-symmetry $\Rightarrow n_\psi - n_{\bar{\psi}}$ は発展しない

$$f_\psi(t) = f_{\bar{\psi}}(t), \mathcal{M}(\alpha \rightarrow \beta) = \mathcal{M}(\bar{\alpha} \rightarrow \bar{\beta})$$

$n_\psi - n_{\bar{\psi}}$ に対する Boltzmann eq. の右辺:

$$\begin{aligned} & \gamma(\psi \rightarrow i + j + \dots) - \gamma(i + j + \dots \rightarrow \psi) - [\gamma(\bar{\psi} \rightarrow \bar{i} + \bar{j} + \dots) - \gamma(\bar{i} + \bar{j} + \dots \rightarrow \bar{\psi})] \\ = & \int d\tilde{\mathbf{p}}_\psi \cdots (2\pi)^4 \delta^4(p_\psi - p_i - p_j - \dots) \\ & \times \left\{ \left[|\mathcal{M}(\psi \rightarrow i + j + \dots)|^2 - |\mathcal{M}(\bar{\psi} \rightarrow \bar{i} + \bar{j} + \dots)|^2 \right] f_\psi (1 \pm f_i) (1 \pm f_j) \cdots \right. \\ & \quad \left. - \left[|\mathcal{M}(i + j + \dots \rightarrow \psi)|^2 - |\mathcal{M}(\bar{i} + \bar{j} + \dots \rightarrow \bar{\psi})|^2 \right] f_i f_j \cdots (1 \pm f_\psi) \right\} \\ = & 0 \end{aligned}$$

Boltzmann eq.の解法

分布函数 $f(t, \mathbf{p})$ に対する方程式 \Rightarrow 粒子数密度 $n(t)$ に対する方程式

$$f(\mathbf{p}, t) = \frac{n(t)}{n^{\text{eq}}} f^{\text{eq}}(\mathbf{p})$$

[#(elastic scatt.) \gg #(inelastic scatt)]

この置き換えの妥当性についてはDiscussionsで

Boltzmann eq.

$$\dot{n}_\psi(t) + 3H(t)n(t)$$

$$\begin{aligned} &= - \sum_{i,j,\dots} \left[\frac{n_\psi}{n_\psi^{\text{eq}}} \gamma^{\text{eq}}(\psi \rightarrow i + j + \dots) - \frac{n_i n_j \dots}{n_i^{\text{eq}} n_j^{\text{eq}} \dots} \gamma^{\text{eq}}(i + j + \dots \rightarrow \psi) \right] \\ &\quad - \sum_{a,i,\dots} \left[\frac{n_\psi n_a}{n_\psi^{\text{eq}} n_a^{\text{eq}}} \gamma^{\text{eq}}(\psi + a \rightarrow i + j + \dots) - \frac{n_i n_j \dots}{n_i^{\text{eq}} n_j^{\text{eq}} \dots} \gamma^{\text{eq}}(i + j + \dots \rightarrow \psi + a) \right] \end{aligned}$$

$\gamma^{\text{eq}}(\dots)$ = 平衡分布 $f^{\text{eq}}(\mathbf{p})$ で計算した $\gamma(\dots)$

変数変換

左辺の膨張の効果を、 $n_\psi(t)$ を s で割ることで吸収する。

entropy density: $s = \frac{2\pi^2}{45} g_* T^3$ $g_* = \sum_B g_B + \frac{7}{8} \sum_F g_F$

Hubble parameter in flat RD universe: $H(t) \simeq \left(\frac{8\pi G}{3} \rho_r \right)^{1/2} = \left(\frac{8\pi G}{3} \frac{\pi^2}{30} g_* T^4 \right)^{1/2}$

$$\rightarrow a(t) \propto t^{1/2} \sim T^{-1}, \quad H(t) = \frac{\dot{a}(t)}{a(t)} = \frac{1}{2t}$$

このとき、 $\dot{s} = \frac{3}{T} s \frac{dT}{dt} = 3s \frac{d \log T}{dt} = -3s \frac{1}{2t} = -3s H(t)$ により

$Y_\psi \equiv \frac{n_\psi}{s}$ と定義すると、 $\dot{n}_\psi = s \dot{Y}_\psi + \dot{s} Y_\psi = s \dot{Y}_\psi - 3s H(t) Y_\psi = s \dot{Y}_\psi - 3H(t) n_\psi$

→ Boltzmann eq.の左辺:

$$\boxed{\dot{n}_\psi(t) + 3H(t)n_\psi(t) = s \dot{Y}_\psi(t)}$$

$t \rightarrow z = \frac{M}{T}$:無次元パラメータ $M = \text{heavy-}\nu$ mass t の増加 $\Leftrightarrow z$ の増加

$$\begin{aligned} \frac{d}{dt} &= -\frac{M}{T^2} \frac{dT}{dt} \frac{d}{dz} = -z \frac{d \log T}{dt} \frac{d}{dz} = H(t) z \frac{d}{dz} = \left(\frac{4\pi^3}{45} g_* \right)^{1/2} \frac{T^2}{m_{\text{Pl}}} z \frac{d}{dz} \\ &= \left(\frac{4\pi^3}{45} g_* \right)^{1/2} \frac{M^2}{m_{\text{Pl}}} \frac{1}{z} \frac{d}{dz} \end{aligned}$$

これにより

$$\begin{aligned} s \frac{dY_\psi}{dt} &= \left(\frac{4\pi^3}{45} g_* \right)^{1/2} \frac{2\pi^2}{45} g_* T^3 \frac{M^2}{m_{\text{Pl}}} \frac{1}{z} \frac{dY_\psi}{dz} = \left(\frac{2\pi^2}{45} g_* \right)^{3/2} \sqrt{2\pi} \frac{M^5}{m_{\text{Pl}}} \frac{1}{z^4} \frac{dY_\psi}{dz} \\ &\equiv C M^4 \frac{1}{z^4} \frac{dY_\psi}{dz} \end{aligned}$$

$$C = \sqrt{2\pi} \left(\frac{2\pi^2}{45} g_* \right)^{3/2} \frac{M}{m_{\text{Pl}}} : \text{無次元定数}$$

[$M \ll m_{\text{Pl}}$ の場合は数値計算に注意; cf. CDM]

Boltzmann eq.

$$\begin{aligned}
& C \frac{M^4}{z^4} \frac{dY_\psi}{dz} \\
&= - \sum_{i,j,\dots} \left[\frac{Y_\psi}{Y_\psi^{\text{eq}}} \gamma^{\text{eq}}(\psi \rightarrow i + j + \dots) - \frac{Y_i Y_j \dots}{Y_i^{\text{eq}} Y_j^{\text{eq}} \dots} \gamma^{\text{eq}}(i + j + \dots \rightarrow \psi) \right] \\
&\quad - \sum_{a,i,\dots} \left[\frac{Y_\psi Y_a}{Y_\psi^{\text{eq}} Y_a^{\text{eq}}} \gamma^{\text{eq}}(\psi + a \rightarrow i + j + \dots) - \frac{Y_i Y_j \dots}{Y_i^{\text{eq}} Y_j^{\text{eq}} \dots} \gamma^{\text{eq}}(i + j + \dots \rightarrow \psi + a) \right]
\end{aligned}$$

実際には、 $(\psi, a, i, j) = N_i, l, \bar{l}, \phi, \bar{\phi}$ などとして、連立のBoltzmann eqs.を解く。

System of $(N_i, l, \bar{l}, \phi, \bar{\phi})$

$\Delta L = \pm 1 : N_i \rightarrow l\phi, N_i \rightarrow \bar{l}\bar{\phi}, l\phi \rightarrow N_i, \bar{l}\bar{\phi} \rightarrow N_i$

$\Delta L = \pm 2 : l\phi \rightarrow \bar{l}\bar{\phi}, \bar{l}\bar{\phi} \rightarrow l\phi$

平衡状態での粒子数密度 ($T \gg m_\phi$)

$$n_l^{\text{eq}} = n_{\bar{l}}^{\text{eq}} = \frac{\zeta(3)}{\pi^2} \left(\frac{3}{4} \times 3_{\text{gen}} \times 2_{\text{isospin}} \right) T^3, \quad n_\phi^{\text{eq}} = n_{\bar{\phi}}^{\text{eq}} = \frac{\zeta(3)}{\pi^2} \cdot 2 \cdot T^3$$

heavy- ν は、decouplingの効果を見るので有限のmassで計算する

occupation no.が大きいので、 $f^{\text{eq}}(\mathbf{p}) \simeq e^{-E_{\mathbf{p}}/T}$ と近似して

$$\begin{aligned} n_N^{\text{eq}} &= 2 \int \frac{d^3 \mathbf{p}}{(2\pi)^3} e^{-\sqrt{\mathbf{p}^2 + M^2}/T} = 2 \cdot \frac{T^3}{2\pi^2} \int_0^\infty dx x^2 e^{-\sqrt{x^2 + z^2}} \quad (z = M/T) \\ &= 2 \cdot \frac{T^3}{2\pi^2} z^2 K_2(z) \quad (K_n(z) : \text{modified Bessel function}) \end{aligned}$$

Boltzmann equations

$$C = \sqrt{2\pi} \left(\frac{2\pi^2}{45} g_* \right)^{3/2} \frac{M_i}{m_{Pl}}$$

$$\begin{aligned} C \frac{M_i^4}{z^4} \frac{dY_{N_i}}{dz} &= -\frac{Y_{N_i}}{Y_{N_i}^{\text{eq}}} [\gamma^{\text{eq}}(\textcolor{red}{N}_i \rightarrow l\phi) + \gamma^{\text{eq}}(\textcolor{red}{N} \rightarrow \bar{l}\bar{\phi})] \\ &\quad + \frac{Y_l Y_\phi}{Y_l^{\text{eq}} Y_\phi^{\text{eq}}} \gamma^{\text{eq}}(l\phi \rightarrow N_i) + \frac{Y_{\bar{l}} Y_{\bar{\phi}}}{Y_{\bar{l}}^{\text{eq}} Y_{\bar{\phi}}^{\text{eq}}} \gamma^{\text{eq}}(\bar{l}\bar{\phi} \rightarrow N_i) \\ C \frac{M_i^4}{z^4} \frac{dY_l}{dz} &= \frac{Y_{N_i}}{Y_{N_i}^{\text{eq}}} \gamma^{\text{eq}}(\textcolor{red}{N}_i \rightarrow l\phi) - \frac{Y_l Y_\phi}{Y_l^{\text{eq}} Y_\phi^{\text{eq}}} \gamma^{\text{eq}}(l\phi \rightarrow N_i) \\ &\quad + \frac{Y_{\bar{l}} Y_{\bar{\phi}}}{Y_{\bar{l}}^{\text{eq}} Y_{\bar{\phi}}^{\text{eq}}} \gamma^{\text{eq}}(\bar{l}\bar{\phi} \rightarrow l\phi) - \frac{Y_l Y_\phi}{Y_l^{\text{eq}} Y_\phi^{\text{eq}}} \gamma^{\text{eq}}(l\phi \rightarrow \bar{l}\bar{\phi}) \\ C \frac{M_i^4}{z^4} \frac{dY_{\bar{l}}}{dz} &= \frac{Y_{N_i}}{Y_{N_i}^{\text{eq}}} \gamma^{\text{eq}}(\textcolor{red}{N}_i \rightarrow \bar{l}\bar{\phi}) - \frac{Y_{\bar{l}} Y_{\bar{\phi}}}{Y_{\bar{l}}^{\text{eq}} Y_{\bar{\phi}}^{\text{eq}}} \gamma^{\text{eq}}(\bar{l}\bar{\phi} \rightarrow N_i) \\ &\quad - \frac{Y_l Y_\phi}{Y_l^{\text{eq}} Y_\phi^{\text{eq}}} \gamma^{\text{eq}}(\bar{l}\bar{\phi} \rightarrow l\phi) + \frac{Y_l Y_\phi}{Y_l^{\text{eq}} Y_\phi^{\text{eq}}} \gamma^{\text{eq}}(l\phi \rightarrow \bar{l}\bar{\phi}) \end{aligned}$$

$Y_\phi, Y_{\bar{\phi}}$ についても同様

γ^{eq} の計算 $[f^{\text{eq}} \simeq e^{-E/T}, 1 \pm f^{\text{eq}} \simeq 1]$

$$\begin{aligned}
\gamma^{\text{eq}}(N \rightarrow l\phi) &= \int d\tilde{\mathbf{p}}_1 \cdots f_N^{\text{eq}}(\mathbf{p}_1) (2\pi)^4 \delta^4(p_1 - p_2 - p_3) |\mathcal{M}(N \rightarrow l\phi)|^2 \\
&= \int \frac{d^3\mathbf{p}_1}{(2\pi)^3 2E_1} e^{-E_1/T} \int \frac{d^3\mathbf{p}_2}{(2\pi)^3 2E_2} \frac{d^3\mathbf{p}_3}{(2\pi)^3 2E_3} (2\pi)^4 \delta^4(p_1 - p_2 - p_3) |\mathcal{M}(N \rightarrow l\phi)|^2 \\
&= \int \frac{d^3\mathbf{p}_1}{(2\pi)^3 2E_1} e^{-E_1/T} 2M \Gamma_{rs}(N \rightarrow l\phi) \quad \text{decay width in the rest frame of } N
\end{aligned}$$

ここで p_1 積分は

$$\int \frac{d^3\mathbf{p}_1}{(2\pi)^3} \frac{M}{E_1} e^{-\sqrt{p_1^2 + M^2}/T} = \frac{M}{2\pi^2} \int_0^\infty dp \frac{p^2}{\sqrt{p^2 + M^2}} e^{-\sqrt{p^2 + M^2}/T} = \frac{T^3}{2\pi^2} z^2 K_1(z)$$

CPT-inv. \Rightarrow

$$\gamma^{\text{eq}}(N \rightarrow l\phi) = \gamma^{\text{eq}}(\bar{l}\bar{\phi} \rightarrow N) = \frac{T^3}{2\pi^2} z^2 K_1(z) \Gamma_{rs}(N \rightarrow l\phi)$$

$$\gamma^{\text{eq}}(N \rightarrow \bar{l}\bar{\phi}) = \gamma^{\text{eq}}(l\phi \rightarrow N) = \frac{T^3}{2\pi^2} z^2 K_1(z) \Gamma_{rs}(N \rightarrow \bar{l}\bar{\phi})$$

$\Gamma_{rs}(N \rightarrow l\phi)$ と $\Gamma_{rs}(N \rightarrow \bar{l}\bar{\phi})$ の計算

$$\mathcal{L}_Y = -h_{ij} \left(\bar{N}_i \frac{1-\gamma_5}{2} \nu_j \phi^0 - \bar{N}_i \frac{1-\gamma_5}{2} e_j \phi^+ \right) - h_{ij}^* \left(\bar{\nu}_j \frac{1+\gamma_5}{2} N_i \phi^{0*} - \bar{e}_j \frac{1+\gamma_5}{2} N_i \phi^- \right)$$

amplitudes:

$$i\mathcal{M}(N_i \rightarrow l_j \phi) = \frac{N_i}{p_1} \overrightarrow{p_1} \cdot \text{circle} \cdot \begin{cases} p_2 \\ p_3 \end{cases} \cdot \begin{cases} l_j \\ \phi \end{cases}$$

$$= \frac{N_i}{l_j} \overrightarrow{l_j} \cdot \overrightarrow{\phi} + \frac{N_i}{l_m} \overrightarrow{l_m} \cdot \text{circle} \cdot \frac{N_k}{l_j} \overrightarrow{l_j} \cdot \overrightarrow{\phi} + \frac{N_i}{l_m} \overrightarrow{l_m} \cdot \text{circle} \cdot \frac{N_k}{l_j} \overrightarrow{l_j} \cdot \overrightarrow{\phi} + \frac{N_i}{l_m} \overrightarrow{l_m} \cdot \text{circle} \cdot \frac{N_k}{l_j} \overrightarrow{l_j} \cdot \overrightarrow{\phi} + \dots$$

$$\equiv i\mathcal{M}_0 + i\mathcal{M}_A + i\mathcal{M}_B + i\mathcal{M}_C + \dots$$

Feynman rule for Majorana fermions

Majorana 4-fermion $N(x)$: $N^c(x) = C(\bar{N}(x))^T = N(x)$, or $(\bar{N}(x))^T = C^{-1}N(x)$

propagator:

$$\langle N_a \bar{N}_b \rangle = \left(\frac{i}{\not{p} - M} \right)_{ab},$$

$$\langle N_a N_b \rangle = C_{bc} \langle N_a \bar{N}_c \rangle = \left(\frac{i}{\not{p} - M} C^T \right)_{ab}, \quad \langle \bar{N}_a \bar{N}_b \rangle = \left(C^{-1} \frac{i}{\not{p} - M} \right)_{ab}$$

end point of an external line:

$$N_a |p, s\rangle = U_a^s(p), \quad \bar{N}_a |p, s\rangle = (C^{-1})_{ab} U_b^s(p),$$

$$\langle p, s | \bar{N}_a = \bar{U}_a^s(p), \quad \langle p, s | N_a = \bar{U}_b^s(p) (C^T)_{ba}$$

Dirac fermion:

$$\psi_a |p, s\rangle = u_a^s(p), \quad \langle p, s | \bar{\psi}_a = \bar{u}_a^s(p) \quad : \text{fermion in } |p, s\rangle$$

$$\bar{\psi}_a |p, s\rangle = \bar{v}_a^s(p), \quad \langle p, s | \psi_a = v_a^s(p) \quad : \text{anti-fermion in } |p, s\rangle$$

tree level : $i\mathcal{M}_0 = i\textcolor{blue}{h}_{ij}^* \bar{u}_j^{s'}(p_2) \frac{1 + \gamma_5}{2} U_i^s(p_1)$

one-loop :

$$i\mathcal{M}_A = \textcolor{blue}{h}_{im} h_{km}^* h_{kj}^* \int \frac{d^4 k}{(2\pi)^4} \bar{u}_j^{s'}(p_2) \frac{1 + \gamma_5}{2} \frac{M_k}{k^2 - M_k^2} \frac{\not{k} - \not{p}_3}{(k - p_3)^2} U_i^s(p_1) \frac{1}{(k + p_2)^2}$$

$$= i(\textcolor{blue}{h}h^\dagger)_{ik} h_{kj}^* C\left(\frac{M_k^2}{M_i^2}\right) \bar{u}_j^{s'}(p_2) \frac{1 + \gamma_5}{2} U_i^s(p_1)$$

$$\begin{aligned} i\mathcal{M}_B &= \textcolor{blue}{h}_{im} h_{km}^* h_{kj}^* \int \frac{d^4 k}{(2\pi)^4} \bar{u}_j^{s'}(p_2) \frac{1 + \gamma_5}{2} \frac{M_k}{p_1^2 - M_k^2} \frac{\not{k}}{k^2} U_i^s(p_1) \frac{1}{(k + p_1)^2} \\ &= i(\textcolor{blue}{h}h^\dagger)_{ik} h_{kj}^* A(M_i^2) \frac{M_i M_k}{M_i^2 - M_k^2} \bar{u}_j^{s'}(p_2) \frac{1 + \gamma_5}{2} U_i^s(p_1) \end{aligned}$$

$$\begin{aligned} i\mathcal{M}_C &= -\textcolor{blue}{h}_{im}^* h_{km} h_{kj}^* \int \frac{d^4 k}{(2\pi)^4} \bar{u}_j^{s'}(p_2) \frac{1 + \gamma_5}{2} \frac{\not{p}_1}{p_1^2 - M_k^2} \frac{\not{k}}{k^2} U_i^s(p_1) \frac{1}{(k - p_1)^2} \\ &= i(\textcolor{blue}{h}h^\dagger)_{ki} h_{kj}^* A(M_i^2) \frac{M_i^2}{M_i^2 - M_k^2} \bar{u}_j^{s'}(p_2) \frac{1 + \gamma_5}{2} U_i^s(p_1) \end{aligned}$$

ここで $A(p^2)$ と $C(\xi)$ は次で定義される

$$\begin{aligned}
A(p^2) &= \frac{1}{16\pi^2} \int_0^1 dx x \left[\log(x - x^2) + \log(-p^2 - i\epsilon) \right] \\
C(\xi) &= \frac{\sqrt{\xi}}{16\pi^2} \int_0^1 dx \int_0^{1-x} dy \frac{1-x}{(1-x-y)\xi - xy - i\epsilon}
\end{aligned}$$

$A(p^2)$ is $\overline{\text{MS}}$ -regulated, while the Im-part is finite.

total decay width — tree-level contribution

$$\begin{aligned}
&\sum_j \left[\Gamma(N_i \rightarrow l_j \phi) + \Gamma(N_i \rightarrow \bar{l}_j \bar{\phi}) \right] \\
&= \frac{2}{2M_i} \int \frac{d^3 p_2}{(2\pi)^3 2E_2} \frac{d^3 p_3}{(2\pi)^3 2E_3} 2(hh^\dagger)_{ii} (p_1 \cdot p_2) (2\pi)^4 \delta^4(p_1 - p_2 - p_3) \\
&= \frac{1}{8\pi} (hh^\dagger)_{ii} M_i
\end{aligned}$$

$$\begin{aligned}
& \sum_j [\Gamma(N_i \rightarrow l_j \phi) - \Gamma(N_i \rightarrow \bar{l}_j \bar{\phi})] \\
&= \frac{1}{4\pi} \sum_{k \neq i} M_i \operatorname{Im} \left[((hh^\dagger)_{ki})^2 \right] \left[\frac{2M_i M_k}{M_i^2 - M_k^2} \operatorname{Im} A(M_i^2) + \operatorname{Im} C \left(\frac{M_k^2}{M_i^2} \right) \right] \\
&= \frac{M_i}{(8\pi)^2} \sum_{k \neq i} \operatorname{Im} \left[((hh^\dagger)_{ki})^2 \right] [f(\xi_k) + g(\xi_k)]
\end{aligned}$$

ここで $\xi_k^2 \equiv M_k^2/M_i^2$, $f(\xi) = \sqrt{\xi} \left[1 - (1+\xi) \log \frac{1+\xi}{\xi} \right]$, $g(\xi) = \frac{\sqrt{\xi}}{1-\xi}$

$$\begin{aligned}
\operatorname{Im} A(M^2) &= \frac{1}{16\pi^2} \int_0^1 dx x \operatorname{Im} \log(-M^2 - i\epsilon) = \frac{1}{16\pi^2} (-\pi) = -\frac{1}{16\pi} \\
\operatorname{Im} C(\xi) &= \frac{\sqrt{\xi}}{16\pi^2} \int_0^1 dx \int_0^{1-x} dy \operatorname{Im} \frac{1-x}{(1-x-y)\xi - xy - i\epsilon} \\
&= \frac{\sqrt{\xi}}{16\pi^2} \int_0^1 dx \int_0^{1-x} dy \pi(1-x) \delta((1-x)\xi - (x+\xi)y) \\
&= \frac{\sqrt{\xi}}{16\pi} \int_0^1 dx \frac{1-x}{x+\xi} \int_0^{1-x} dy \delta(y - \frac{1-x}{x+\xi}) = \frac{\sqrt{\xi}}{16\pi} \int_0^1 dx \left(\frac{1+\xi}{x+\xi} - 1 \right)
\end{aligned}$$

N_i の decay asymmetry は

$$\varepsilon_i = \frac{1}{8\pi(hh^\dagger)_{ii}} \sum_{k \neq i} \text{Im} \left[((hh^\dagger)_{ki})^2 \right] [f(\xi_k) + g(\xi_k)]$$

$$\rightarrow \begin{cases} \Gamma(N_i \rightarrow l\phi) = \frac{1 + \varepsilon_i}{2} \Gamma = \frac{(hh^\dagger)_{ii}}{16\pi} (1 + \varepsilon_i) M_i \\ \Gamma(N_i \rightarrow \bar{l}\bar{\phi}) = \frac{1 - \varepsilon_i}{2} \Gamma = \frac{(hh^\dagger)_{ii}}{16\pi} (1 - \varepsilon_i) M_i \end{cases}$$

Boltzmann eq. の scattering terms

$$\gamma^{\text{eq}}(N_i \rightarrow l\phi) = \gamma^{\text{eq}}(\bar{l}\bar{\phi} \rightarrow N_i) = \frac{(hh^\dagger)_{ii}}{32\pi^3} T^4 z^3 K_1(z) (1 + \varepsilon_i)$$

$$\gamma^{\text{eq}}(N_i \rightarrow \bar{l}\bar{\phi}) = \gamma^{\text{eq}}(l\phi \rightarrow N_i) = \frac{(hh^\dagger)_{ii}}{32\pi^3} T^4 z^3 K_1(z) (1 - \varepsilon_i)$$

$$z = \frac{M_i}{T}$$

$\Delta L = \pm 2$ -scattering terms:

中間状態がon-shellの N_k の寄与を差し引く — N_k の decay と inverse decay で考慮済み

$$|\mathcal{M}^{\text{os}}(l\phi \rightarrow l\phi)|^2 = |\mathcal{M}(l\phi \rightarrow N_i)|^2 \frac{\pi\delta(s - M_i^2)}{M_i\Gamma_i} |\mathcal{M}(N_i \rightarrow \bar{l}\bar{\phi})|^2 \simeq \frac{1 - 2\epsilon_i}{4} \frac{\pi\delta(s - M_i^2)}{M_i\Gamma_i} \Gamma_i^2$$

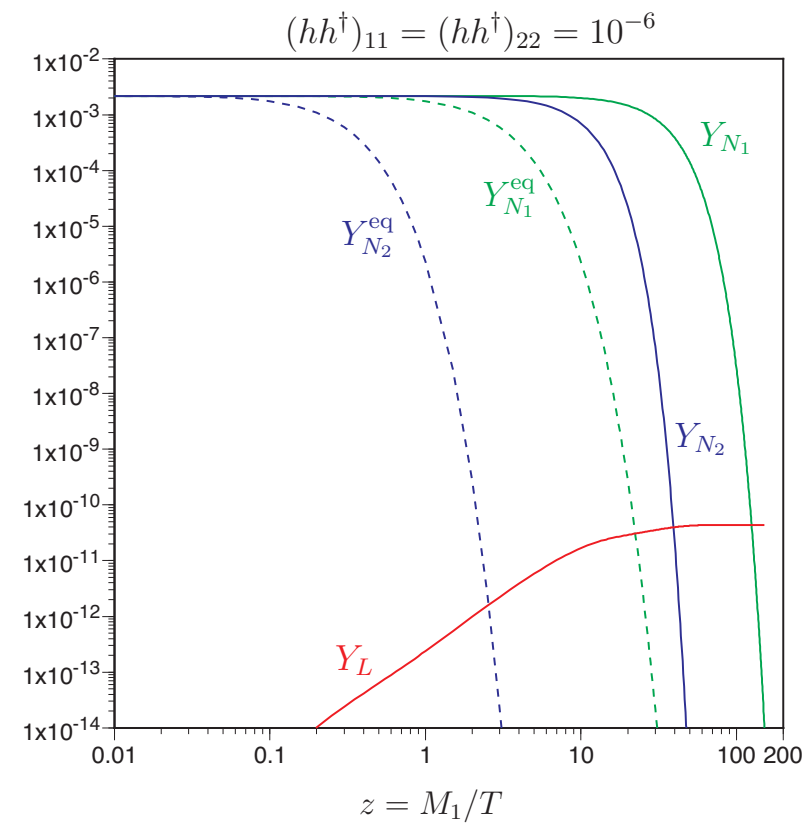
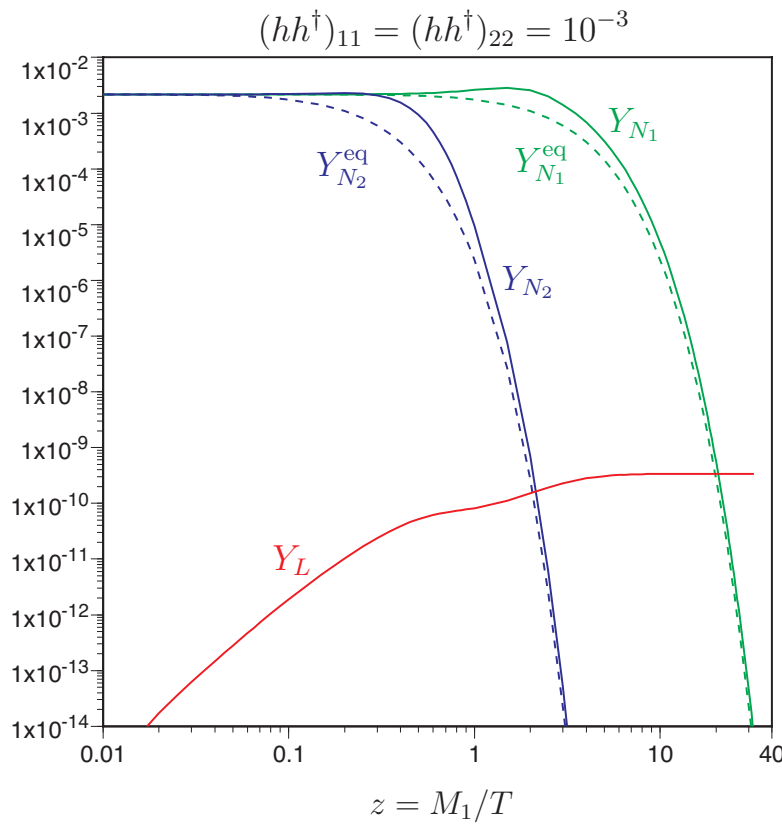
$$\begin{aligned} \gamma^{\text{eq}}(l\phi \rightarrow \bar{l}\bar{\phi}) &= \text{Diagram } 1 - \text{Diagram } 2 \\ &= \frac{T^4}{32\pi^2} \frac{[(hh^\dagger)_{kk}]^2}{16\pi} \int_0^\infty dt t^2 K_1(t) \tilde{f}(t^2/z^2) \\ \gamma^{\text{eq}}(\bar{l}\bar{\phi} \rightarrow l\phi) &= \frac{T^4}{32\pi^2} \frac{[(h^*h^T)_{kk}]^2}{16\pi} \int_0^\infty dt t^2 K_1(t) \tilde{f}(t^2/z^2) \end{aligned}$$

[See, Appendix of Buchmüller, et al., Ann. Phys. 315;
Kolb and Wolfram, Nucl. Phys. B172 ('80), for detail]

数値解の例

toy model with 2 flavors $M_1 = 10^{-6}m_{\text{Pl}}$, $M_2/M_1 = 10$, $\varepsilon_1 = \varepsilon_2 = 10^{-8}$

initial conditions: $Y_N = Y_N^{\text{eq}}$, $Y_l = Y_{\bar{l}} = Y_l^{\text{eq}}$, $Y_\phi = Y_{\bar{\phi}} = Y_\phi^{\text{eq}}$ at $z = M_1/T = 0.01$

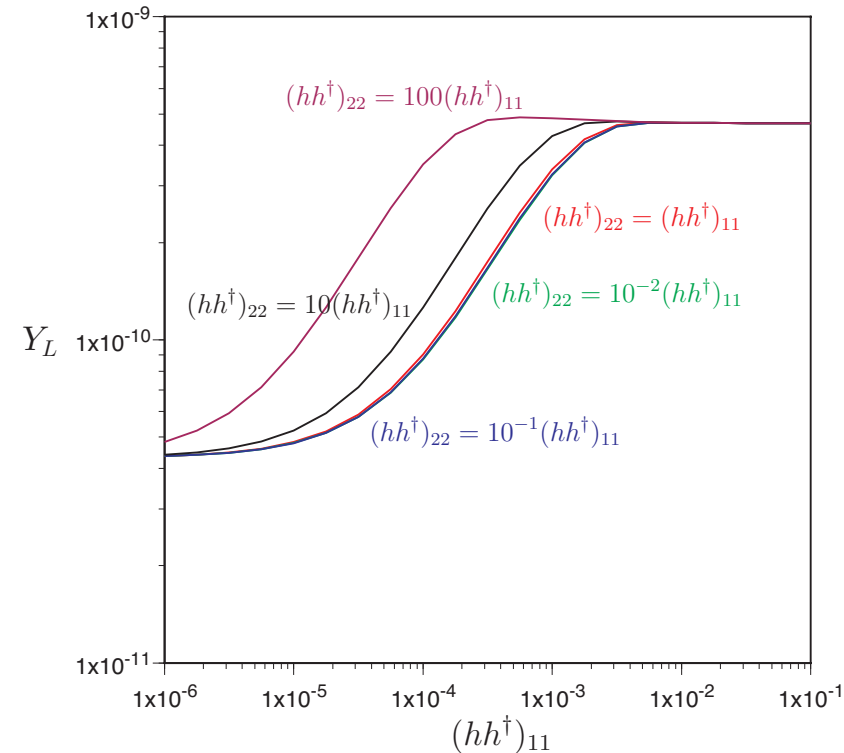
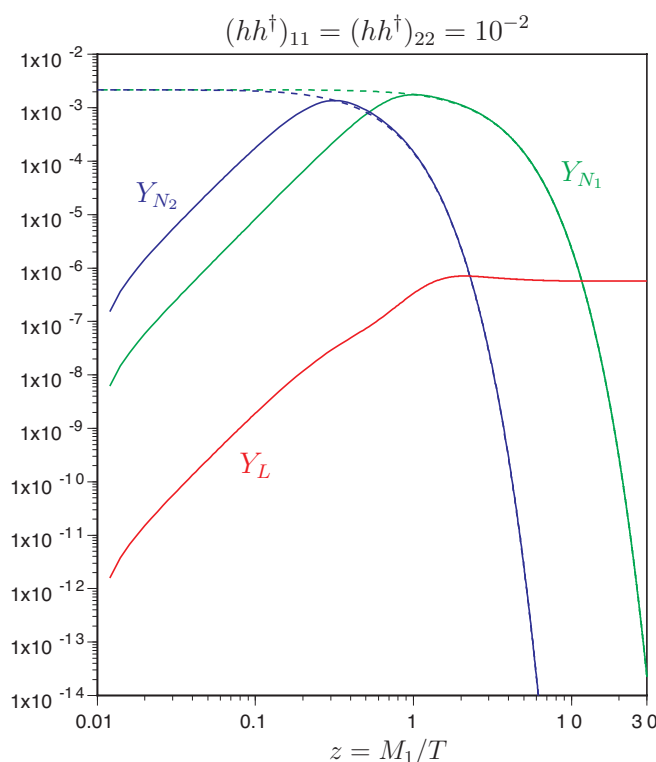


$Y_l, Y_{\bar{l}}, Y_\phi, Y_{\bar{\phi}}$ は殆ど平衡状態の値のまま

$\simeq \text{constant}$

最終的に生成される L は

$(hh^\dagger)_{11}$ と $(hh^\dagger)_{22}$ の大きい方で決まる。 \rightarrow



初期条件を $Y_N = 0$ としても、
高温で N がまず生成される。
その際にも L を生成。

Seesaw模型での計算

- 生成されるLepton数 $\leftarrow \begin{cases} h_{ij} & \nu_L \text{と} N_R \text{の Yukawa 結合 } \dots \text{CP violation} \\ M_i & \text{重いニュートリノの質量固有値} \end{cases}$
- ニュートリノの実験・観測 $\leftarrow U_{MNS} \leftarrow y_{ij}$ (l_L と e_R のYukawa), h_{ij} , M_{ij}
模型を制限すれば両者の関係が付けられる。
 - ★ GUTs — lepton sector: $(y_{ij}, h_{ij}) \leftrightarrow$ quark sector: $(y^{(d)}, y^{(u)})$
 - ★ (2,3)-model — 2つの N_i と3つの ν_i [Endo, et al., Phys. Rev. Lett. 89 ('02)]

oscillation data : $h \sim O(1)$ ならば、 $M \sim 10^{14} \text{GeV}$ $m_\nu \sim (hv_0)^2/M$

$h \sim O(0.01)$ ならば、 $M \sim 10^{10} \text{GeV}$

十分小さい h に対しては $M < T_R$ と出来るが...

e.g. weak scale M のEW leptogenesis [Hill, Murayama, Perez, hep-ph/0504248]

6. Discussions

宇宙のバリオン数、Dark Matter、Dark Energy



存在は明らかだが、説明できる決定的な理論がない

Beyond the SMは必須

New Physics前夜である今こそ、素粒子論的宇宙論に注目！

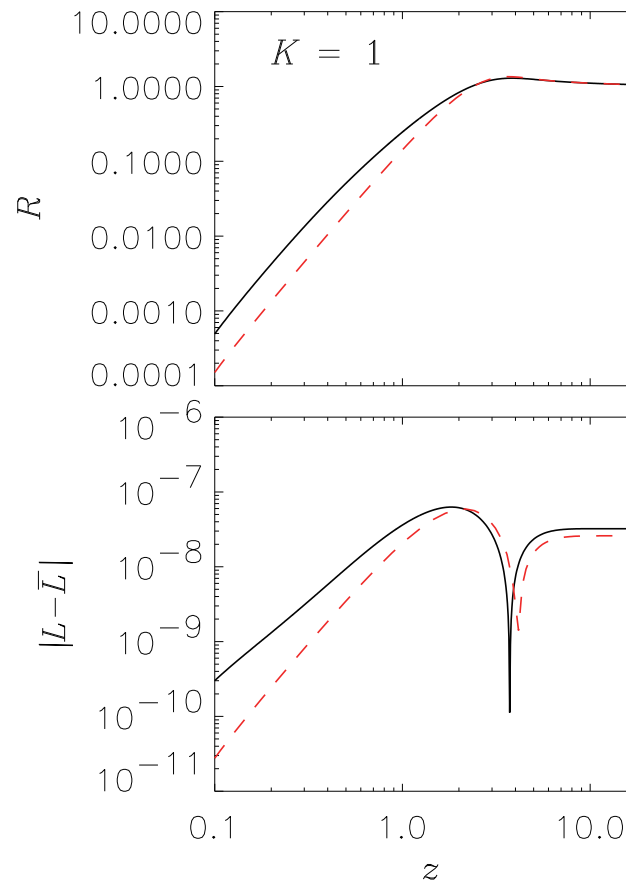
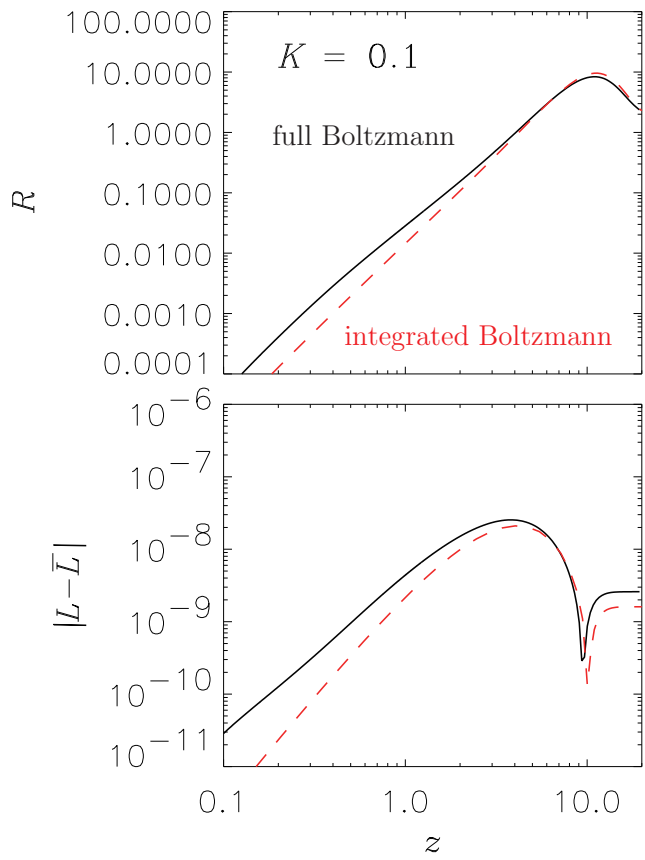
Baryogenesis, Leptogenesis関係で取組むべき問題

- ★ 電弱相転移 — 静的・動的振る舞い
- ★ 非平衡過程の取り扱い
- ★ 現象論的制限をクリアした模型での実現
- ★ ...

従来の方法: Boltzmann equation \Rightarrow 分布函数 $f(\mathbf{p}, t) \longrightarrow \frac{n(t)}{n^{\text{eq}}} f^{\text{eq}}(\mathbf{p})$

“Full” Boltzmann equations

- Garayoa, Pastor, Pino, Rius and Vives, hep-ph/0905.4834
- Basbøll and Hannested, JCAP 0701 ('07) [hep-ph/0609025]



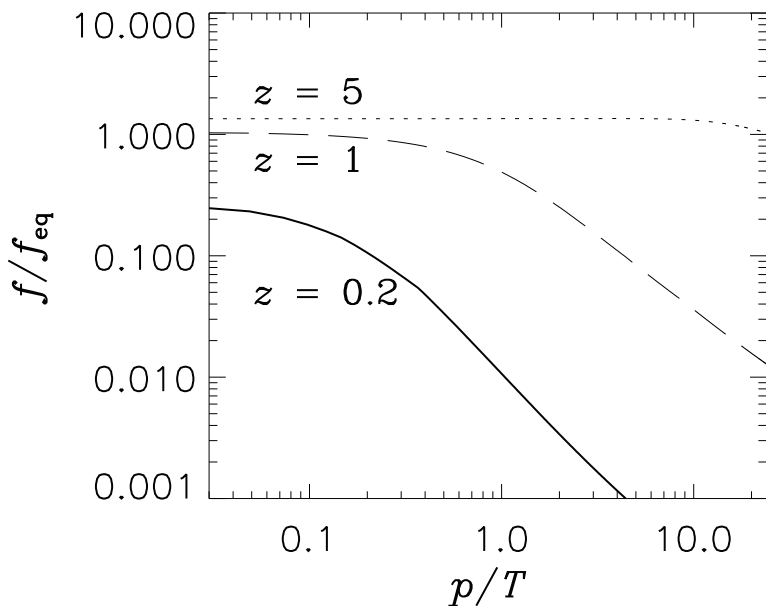
$$K = \frac{\Gamma(N \rightarrow l\phi)}{H(T = M_R)}$$

large K

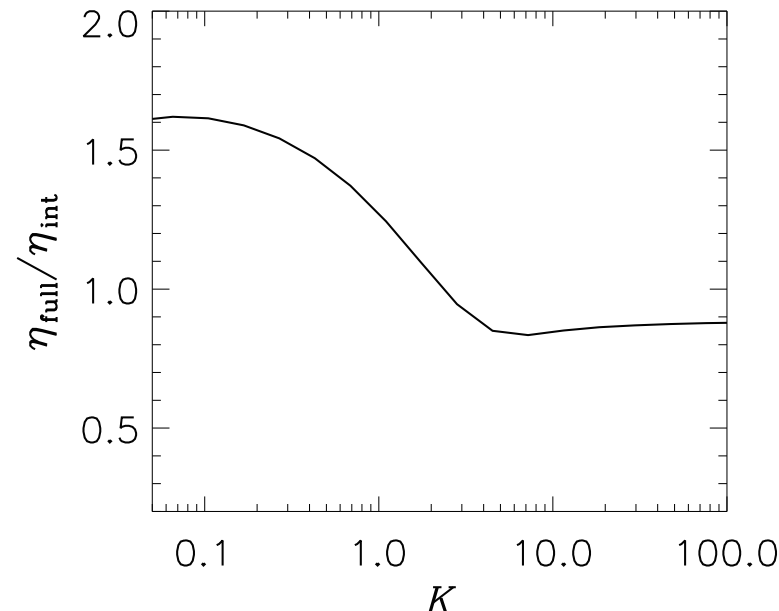


large Yukawa coupling

- For small K ($\simeq 0.1$): η_L は, integrated Boltzmannの場合より50%増
彼らの解析に、 $l\phi \leftrightarrow \bar{l}\bar{\phi}$ 過程が入っていないことが原因か
→ effective for thermalization
- For $K \sim 1$: η_L は, integrated Boltzmannの場合より30%増
- For $K > 1$: integrated Boltzmannとの差は高々15%



N_R 分布函数の平衡分布との比
($K = 1$)



$$\eta_L = \frac{n_L}{n_\gamma} の K 依存性$$

η_{full} by full Boltzmann

η_{int} by integrated Boltzmann

非平衡過程の取り扱いは種々の残存量の計算に Essential

GUTs & EW baryogenesis, Leptogenesis, CDM abundance, etc

formulations

- integrated Boltzmann equation
- full Boltzmann equation
- ★ Kadanoff-Baym equation
- ...

一般的な非平衡は難しいが、特定の問題なら適用可能

空間的に一様な系、非平衡定常状態（時間的に一様）

ご清聴、ありがとうございました。